

UNIVERSIDADE FEDERAL DO PARÁ
CURSO DE PÓS-GRADUAÇÃO EM CIÊNCIAS GEOFÍSICAS E GEOLÓGICAS

PETROLOGIA DA SEQUÊNCIA XISTOSA SERIDÓ - CURRAIS NOVOS, PARELHAS
(RN)

Tese Apresentada por
THEODOMIRO GAMA JUNIOR
como requisito parcial à obtenção do grau de
MESTRE EM CIÊNCIAS

Conferido pelo Programa de Pós-Graduação em
Ciências Geofísicas e Geológicas da
Universidade Federal do Pará

Aprovado: 12.03.81

CARLOS ALBERTO R. DE ALBUQUERQUE

(ORIENTADOR)

ALCIDES NÓBREGA SIAL

YAN MACREATHE

Comitê de Tese

AGRADECIMENTOS

Ao Conselho Nacional de Desenvolvimento Científico e Tecnológico (CNPq), pelo auxílio financeiro à realização desta pesquisa.

Ao Prof. Dr. Carlos Alberto Ribeiro de Albuquerque pela orientação científica e por todo o apoio pessoal.

Aos demais membros da comissão examinadora de tese, Prof. Dr. Alcides Nóbrega Sial e Prof. Dr. Ian McReath, pelas criticas e sugestões apresentadas.

Ao Núcleo de Ciências Geofísicas e Geológicas da Universidade Federal do Pará, nas pessoas do Prof. Dr. José Sei_{xas} Lourenço e Prof. Dr. Raimundo Netuno Nobre Villas pelo estímulo e apoio.

A todos os professores do Núcleo de Ciências Geófí_{sicas} e Geológicas da Universidade Federal do Pará que me trans_{mitiram} ensinamentos durante o curso de Pós-Graduação.

Ao Instituto de Geociências da Universidade de São Paulo - USP, em particular ao Prof. Dr. Celso B. Gomes pelo estágio que me proporcionou no Laboratório de Microssonda Eletrônica e ao Prof. Excelso Ruberti pelo apoio dado durante as análises químicas de minerais realizadas nesse Laboratório.

Aos Profs. Drs. Emanuel F. Jardim de Sá, Jean Michel Legrand e Yociteru Hasui, pelas proveitosas discussões.

Aos amigos e colegas Prof. Francisco de Assis Matos de Abreu, Prof. Armando Coimbra, Prof. Ronaldo Lima Lemos, geólogo Eduardo Vasconcelos, Prof. Dr. Roberto Dall'Agnol e a todas as pessoas que direta ou indiretamente contribuíram para a realização deste trabalho.

Aos técnicos que trabalham no Núcleo de Ciências Geofísicas e Geológicas, em particular aos Srs. Raimundo Nonato Pinto de Oliveira e José Herculano da Silva Neto, pelo auxílio durante as análises químicas de rochas.

À minha esposa Rosa e aos meus pais pelo incentivo
e apoio.

S U M Á R I O

	Pag
AGRADECIMENTOS	i
SUMÁRIO	iii
LISTA DAS ILUSTRAÇÕES	v
RESUMO	viii
ABSTRACT	x
1 <u>INTRODUÇÃO</u>	1
1.1 Objetivos	1
1.2 Localização da Área	1
2 <u>GEOLOGIA DA ÁREA</u>	4
2.1 Estratigrafia	4
2.2 Geotectônica	10
3 <u>PETROGRAFIA</u>	12
3.1 Micaxistos	12
3.2 Calcossilicatadas	14
3.3 Anfibolito	15
4 <u>ANALISES CRONOLÓGICAS</u>	17
4.1 Relação Temporal entre Deformação e Cristaliza ção	21
5 <u>QUIMISMO</u>	33
5.1 Quimismo das Rochas	33
5.2 Quimismo dos Minerais	33
6 <u>TEMPERATURA E PRESSÃO DO METAMORFISMO</u>	45
7 <u>METAMORFISMO</u>	47

8 CONCLUSÕES	53
9 REFERÊNCIAS BIBLIOGRÁFICAS	57
10 ANEXOS	62
10.1 Métodos Analíticos	62
10.2 Mapa de Pontos	65

LISTA DAS ILUSTRAÇÕES

TABELAS

Pag

1.	Coluna lito-estratigráfica para a sequência de <u>co</u> bertura do Seridó	6
2.	Análises químicas de rochas metassedimentares da faixa de dobramento Seridó (RN)	34
3.	Análises químicas de rochas calcossilicatadas e anfibolito da faixa de dobramento Seridó (RN) ...	35
4.	Médias de análises químicas de rochas <u>sedimenta</u> res, metamórficas e ígneas	36
5.	Composição química da granada dos micaxistos <u>Se</u> ridó obtida por microssonda eletrônica	41
6.	Composição química da cordierita dos micaxistos Seridó obtida por microssonda eletrônica	42
7.	Médias da composição química do plagioclásio dos micaxistos Seridó (em termos de anortita, albite e ortoclásio) obtida por microssonda eletrônica .	43
8.	Valores de temperatura e pressão de metamorfismo para a região de Currais Novos-Parelhas (RN)	46

FIGURAS

1.	Localização da área e região de dobramento norte <u>s</u> te	3
2.	Modelo esquemático e tentativo de distribuição de unidades "estratigráficas" na região do Seridó (RN-PB)	9
3.	Esquema das relações minerais vistas nas seções	

delgadas	28
4. Diagramas ACF e A'KF das análises químicas das tabelas 2, 3 e 4	37
5. Composições químicas de várias rochas magmáticas e sedimentares projetadas em diagramas ACF e A'KF. Campos dos metassedimentos da região de Currais Novos-Parelhas (RN)	38
6. Diagrama AFM das análises químicas das tabelas 2, 3 e 4	39
7. Composição química do plagioclásio expressa em termos dos componentes albita, anortita e ortoclásio, obtida por microssonda eletrônica. Sequência xistosa Seridó, região de Currais Novos-Parelhas (RN)	44

FOTOMICROGRAFIAS

1. Microdobramento da fase F_1 . Micaxisto Seridó.....	19
2. Microdobramento da fase F_1 e clivagem de cisalhamento do evento F_3 . Micaxisto Seridó	20
3. Textura pré-cinemática. Nódulos de cordierita contornados pela superfície externa S_2 . Micaxisto Seridó	22
4. "Kink bands" e nódulos de cordierita contornados pela superfície S_2 . Micaxisto Seridó	23
5. Microdobramento da fase F_1 . Granadas rotacionadas. Micaxisto Seridó	25
6. Granada com centro rotacional e borda normal, Micaxisto Seridó	26
7. Textura sin-cinemática à F_2 . Granada estirada segundo a superfície neo-formada S_2	27
8. Remanescentes ocelares de agregados de quartzo, parcialmente recristalizados. Filonito	31

9. Bandeamento quartzo-feldspáttico e faixas de segregação (xistosidade de cisalhamento). Fílenito.

32

QUADROS

I.	Relação entre estile tectônico e crescimento mineral	18
II.	Relação entre metamorfismo e deformação-resumo...	56

RESUMO

No estudo do metamorfismo da região de Currais Novos - Parelhas (RN), que pertence à faixa dobrada Seridó, foram empregadas análises petrográficas, químico de minerais e de rochas, relações entre cristalização e deformação, assim como foram aplicados geotermômetros e geobarômetros e a distribuição espacial das associações minerais.

Três fases consecutivas de deformação (F_1 , F_2 e F_3), têm sido reconhecidas nessa faixa, sendo F_3 visível apenas localmente. O estudo das relações entre deformação e cristalização mineral evidencia que geralmente os minerais são sintectônicos (relativo a F_1) embora alguns minerais também ocorram freqüentemente com a cristalização pós-tectônica.

A estabilidade de estaurolita, clorita, andalusita, cordierita, muscovita e fibrolita (eventualmente cristais maiores de sillimanita), o químico da granada (almandina - 69% à 72% e espressartita - 14%) e a composição química do plagioclásio (oligoclásio, An_{26}), definem o metamorfismo regional na região estudada na fácie anfibolito baixa a média e do tipo de pressão baixa a intermediária. As condições de temperatura e pressão durante este metamorfismo foram estimadas em $550^{\circ}C$ e 4.0 kbar, respectivamente.

A distribuição espacial homogênea das associações minerais (granada-cordierita-andalusita-sillimanita-estaurolita-clorita), por toda a extensão da área estudada, sugere que não existe um zoneamento metamórfico na mesma.

Não foi identificada qualquer evidência de um evento retrometamórfico de caráter regional, porém, restrita a estreitas zonas cisalhadas nas proximidades das cidades de Cruzeta, Jardim do Seridó e São José do Seridó, foi constatada a sua existência. Assim foram originadas rochas milonitizadas, tais como filonitos. As condições da fácie xistoverde não chegam a ser, entretanto, atingidas.

A mineralogia e o químismo da sequência xistosa Seridó indicam que as rochas se originaram de sedimentos com predominância de pelites e grauvacas. Já as rochas calcossilicatadas, intercaladas na sequência xistosa, são produtos de rochas sedimentares de composição carbonática impura. Por outro lado, o anfibolito, com excessão ao teor elevado em K₂O teria como origem uma rocha de composição ultramáfica, semelhante em composição aos peridotitos e inclusive aos peridotitos komatiíticos.

ABSTRACT

This work deals with the metamorphism of the Seridó schists in the region Currais Novos - Parelhas, of the Seridó schist belt. The study involved the petrography of the rocks, the chemistry of rocks and selected minerals and the application of geothermometers and geobarometers as well as a correlation between deformation and metamorphic crystallization of the minerals.

The three consecutive phases of deformation (F_1 , F_2 , F_3) described have been recognized although F_3 was seen only locally. Syntectonic crystallization (relative to F_1) was noted for most minerals although post-tectonic crystallization is seen very often.

The pressure and temperature of crystallization can be estimated at approximately 4 kb and 550°C , respectively. The occurrence of staurolite in metasedimentary assemblages defines metamorphic conditions of the amphibolite facies.

Garnet, with about 70% of the almandine molecule and 15% of the spessartite molecule, coexists with cordierite and andalusite (or sillimanite). Therefore, the metamorphism is of the low-to intermediate pressure type. The grade of metamorphism is almost constant in the region studied, without evidence of retrograde metamorphism except where intense deformation produced phyllonites.

The conditions of metamorphism of this part of the Seridó schist belt can be compared to those of the Abukuma belt of Japan. The metasedimentary rocks were derived from sediments dominantly with a composition corresponding to a mixture of pelite and greywacke.

1. INTRODUÇÃO

1.1 Objetivos

O Cinturão metamórfico do Seridó situa-se em um dos domínios da "Região Debrada Nordestina", representado por rochas de idade Pré-cambriana, consolidadas no ciclo Brasilia no (Almeida et alii, 1976).

Sendo o metamorfismo um dos eventos marcantes nessa região, mesmo assim não tem merecido o devido tratamento. Entre os trabalhos prévios dedicados à sequência xistosa que compõe a Formação Seridó, percebe-se que a mesma é descrita, de um modo geral, em termos de litologias e observações petrográficas. É reconhecido por Mello e Mello (1972, 1974) que o metamorfismo pertenceria a fácies xistoverde e a fácies cordierita anfibolito, e que entre as associações minerais estão presentes a estaurolita, andalusita, cordierita, granada, sillimanita e micas.

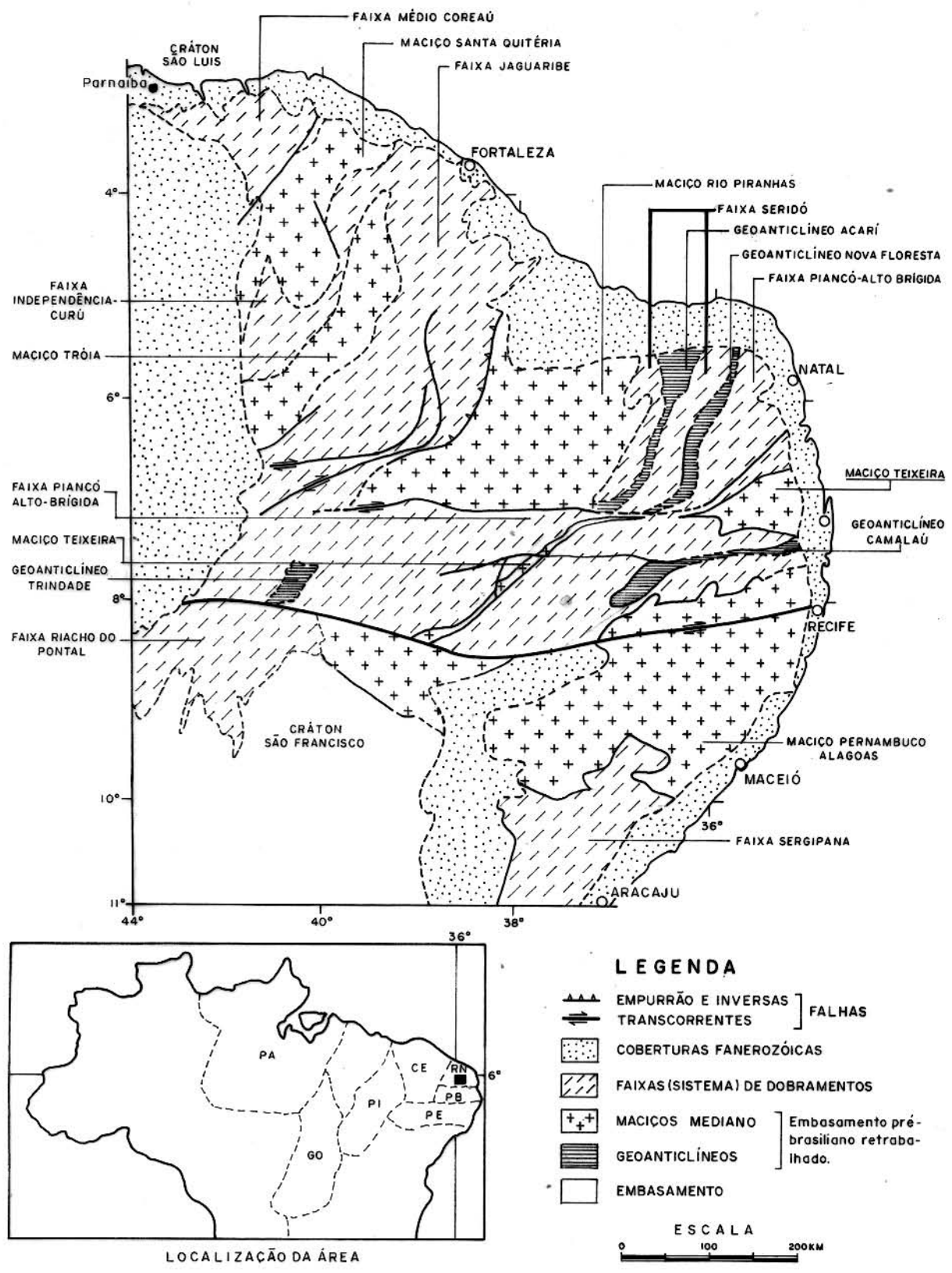
Com base em trabalhos de campo, análises petrográficas, análises cronológicas entre cristalização mineral e deformação, químismo das rochas e minerais, calibragens de temperatura e pressão, bem como no controle da distribuição espacial regional das associações minerais, procurou-se definir melhor os tipos litológicos pré-metamórficos, assim como as associações minerais, as relações entre cristalização mineral e deformação, as condições de temperatura e pressão e a distribuição regional do metamorfismo na região de Currais Novos - Paralhas (RN).

1.2 Localização da Área

A região pesquisada (Figura 1) localiza-se no nordeste do Brasil, no Estado do Rio Grande do Norte e a parte central da área(próxima à cidade de Currais Novos) está a cerca de 175 km a WSW da cidade de Natal, capital do Estado. É delimitada em termos gerais pelas coordenadas geográficas:

06°00' e 06°40' de latitude S.

36°10' e 37°00' de longitude W de Greenwich.
abrangendo uma superfície de 2.876 km² aproximadamente.



FONTE: WERNICK et alii (1978)
BRITO NEVES (1975)

FIG. 1 - LOCALIZAÇÃO DA ÁREA E REGIÃO DE DOBRAMENTOS NORDESTE.

2 GEOLOGIA DA ÁREA

2.1 Estratigrafia

Devido ao fato da região do Seridó despertar um grande interesse pela sua potencialidade econômica, existe um considerável acervo bibliográfico sobre a geologia da área. Estratigráficamente as faixas dobradas brasilianas do nordeste se caracterizam por uma sequência terrígena inferior coberta por rochas carbonatadas, sobre as quais segue nova sequência terrígena. Essas sequências foram envolvidas em mais de uma fase de dobramento, frequentemente tendo como direção de orientação NE. O metamorfismo a que foram submetidas estaria representado pelas fácies xistoverde e anfibolito, de baixa a média pressão (DNPM - CGMW - UNESCO - 1978).

Entre os trabalhos pioneiros sobre a estratigrafia do nordeste brasileiro encontra-se o de Crandall (1910) (In: DNPM, 1974), o qual denominou de Série Ceará uma sequência de rochas metamórficas envolvendo xistas argilosos, quartzitos e mármore, distribuída no nordeste brasileiro pelos Estados do Piauí, Ceará, Rio Grande do Norte, Paraíba, Pernambuco, Alagoas e Sergipe, a qual estaria sobreposta a um "Complexo Fundamental" constituído por gnaisses e xistas cristalofilianos.

Moraes (1924) (In: DNPM, 1974) reconheceu que os metassedimentos de maior distribuição na região do Planalto da Borborema estavam restritos a estreitas faixas (sinclinais) de quartzitos e micaxistas de idade Algonquiana, entre uma vasta região de rochas arqueanas e propôs a já consagrada denominação de "Micaxisto Seridó".

A primeira subdivisão estratigráfica da Série Ceará foi proposta por Ebert (1955) (In: Siqueira e Maranhão, 1977) e compreende as seguintes unidades:

Formação Seridó: micaxistas e arcósios;

Formação Quixabá: micaxistas, calcários e escarnitios;

Formação Papelhas: arcósios graníticos e conglomados;

Formação Equador: quartzitos micáceos e conglomerados:

Ferreira (1967) (In: Siqueira e Maranhão, 1977) sugeriu um esquema estratigráfico para a Série Ceará, bem distinto do apresentado por Ebert (1955), onde considerou como horizonte guia o quartzito Equador:

CEARÁ	GRUPO SERIDÓ	SERIDÓ: dominam biotita xistos, há calcários nos níveis inferiores. Há tactitos esparsos e ricos. Gnaissés de transição são restritos à base. Há lentes do gnaisse Jucurutu.
SÉRIE	GRUPO CAICÓ	JUCURUTU: domina o gnaisse Jucurutu. Há calcário em todos os níveis. Tactitos são abundantes e finos em geral. Há xistos Seridó em lentes com contato abrupato com o Jucurutu.
	GRUPO EQUADOR	HORIZONTE EQUADOR: domina o quartzito. Há conglomerados.
	GRUPO CAICÓ	CAICÓ: no topo há xistos com intercalações de calcário na maioria estéril. Na base uma espessa sequência com intercalações de xistos, meta-arcósios e para-anfibolitos.
	GRUPO SÃO VICENTE	SÃO VICENTE: formado por pacotes espessos de meta-arcósios, com lentes de para-anfibolitos.
	GRUPO LAGES	LAGES: formado por intercalações de meta-arcósios, xistos e para-anfibolitos. As vezes existem lentes de quartzitos. A sequência é muito espessa.

Ebert (1967) (In: Siqueira e Maranhão, 1977) discorda inteiramente do esquema estratigráfico proposto por Ferreira (1967) e considera o calcário Quixabá como o único horizonte guia de referência para a sub-divisão da Série Ceará. Em 1969, Ebert (In: Siqueira e Maranhão, 1977) apresenta uma nova coluna estratigráfica para as diversas sub-áreas na região do Seridó, empregando a denominação de Formação Quixabá para a unidade cons-

IDADE	UNIDADES	LITOLOGIA
	GRUPO SERIDÓ (MORAES, 1924)	* Essencialmente constituída de xistos alumínicos e tendo em sua base intercalações: - Finais de marmores, calcossilicácticas e anfibolitos - Gnaisses, quartzitos
	DISCORDÂNCIA ESTRATIGRÁFICA	* Metaconglomerado polimítico com seixos de quartzo, granito, gnáisse e de litologias da Formação Equador: muscovita, quartzitos ferruginosos e metaconglomerado monomictico quartzoso com matriz ferruginosa.
	FORMAÇÃO SERIDÓ (EBERT, 1955)	* Dominam muscovita - quartzitos e muscovita - quartzo xistos, com variações laterais e verticais entre ambos. Intercalações de biotita xistos, quartzitos ferruginosos e de metaconglomerados monomicticos quartzosos com matriz ferruginosa. Na base, intercalações de mármore, calcossilicácticas e anfibólio - calco xistos.
	FORMAÇÃO JUCURUTU (FERREIRA, 1967)	* Provavelmente de natureza vulcana-sedimentar. Dominam gnaisses ricos em minerais, nódulos e leentes cajossilicácticas. Apresentam intercalações, de modo mais abundante que nas formações anteriores, das seguintes litologias: - Anfibolitos, xistos e gnaisses anfibolíticos - Marmores e calcossilicácticas - Formações de ferro bandadas isoladas ou associadas com anfibolitos e anfibólio xistos, mármores marrons, ortoquartzitos brancos finos.
	FORMAÇÃO JUCURUTU (FERREIRA, 1967)	* Formação hospedeira dos depósitos de scheelite em calcossilicácticas.
	DISCORDÂNCIA TECTÔNICA	* Representada por uma fase a mais de deformação no embasamento (Jardim de Sá, 1978)
	EMBA-SAMEN (MEUNIER, 1964)	* Gnaisses e ortognaisses de composição tonalítica.

TABELA 1 - COLUNA LITO-ESTRATIGRÁFICA PARA A SEQUÊNCIA DE COBERTURA DO SERIDÓ (SALIM, LÉGRAND E DARDENNE, 1980)

títuifa de calcário, tactito, para-gnaisses e meta-arcósios, que ocupa sempre a mesma posição estratigráfica e por isso é utilizada como horizonte guia da Série Ceará. Em termos de geocronologia, obteve pelo método K/Ar, para os migmatitos que ocorrem a norte da cidade de São Vicente, idades da ordem de 556 m.a., enquanto que, para os erto-gnaisses, obteve uma idade de 685 ± 20 m.a. Ebert (1970) desenvolveu outro trabalho sobre a geologia regional do Seridó, mapeando uma área mais ao sul daquela por ele estudada em 1969, e manteve o mesmo esquema estratigráfico proposto anteriormente.

Brito Neves (1975) estudando as rochas que compõem o Grupo Caicó, destacou três áreas diferentes dentro do maciço do Rio Piranhas compreendido entre às faixas de dobramento do Jaguaribe a oeste e do Seridó a leste; foram obtidos diversos resultados geocronológicos envolvendo os métodos Rb/Sr e K/Ar. Na primeira área, situada na zona geanticinal de Várzea Alegre no sul ocidental do maciço do Rio Piranhas, analisando os gnaisses de composição diorítica e quartzomonzonítica, constituintes do paleossoma dos migmatitos, obteve uma idade de 1.900 ± 125 m.a., e para as rochas de composição granítica, representando o neossoma, resultou uma idade de 624 ± 8 m.a. Esses resultados foram interpretados como uma fase principal de migmatização regional no ciclo brasileiro, afetando rochas pré-existentes do ciclo transamazônico. Na segunda área, que é considerada pelo autor mencionado a área-tipo para o Complexo Caicó, e que pertence ao Sinclinório em cujo eixo se localiza a cidade de Caicó, foram obtidas idades de 1.700 à 2.660 m.a. em rochas de composição gnássica. Na terceira área, localizada no sul do maciço do Rio Piranhas, foi obtida uma idade de 1.030 ± 230 m.a. para rochas de composição gnássica.

Torres et alii (1973), no Projeto Tungstênio - Molibdênio, surgem com um modelo de empilhamento estratigráfico, considerando como Complexo Caicó toda a unidade situada abaixo do Complexo Seridó e descrevem a sequência tipo para o Caicó, ocorrendo no trecho entre as cidades de Florânia e São Vicente, como constituído em termos gerais por migmatitos (anatexitos e migmatitos homogêneos), gnaisses facoidais, granitos gnássicos, gnais-

ses graníticos e intercalações de gnaisses quartzo - feldspáticos e biotita-gnaisses em forma de lentes. O Grupo Ceará foi subdividido em Complexo Seridó, eruptivas básicas e eruptivas ácidas. O Complexo Seridó, por sua vez, foi subdividido em Formação Jucurutu e Formação Seridó. A Formação Jucurutu foi descrita como sendo constituída por gnaisses a duas micas (biotita e muscovita), apresentando na base lentes de calcários e xistos hornfélscicos, enquanto a Formação Seridó seria constituída por biotita - granada xistos e localmente, nas bordas dos maciços granitóides (ex. maciço Totoró) por uma fácies migmatítica. As eruptivas básicas seriam constituídas por meta-dioritos e meta-diabásios, enquanto que as eruptivas ácidas foram agrupadas em granitóides com textura equigranular, granitóides com textura tendendo à porfiróide e diques pegmatíticos. No Terciário Inferior estão presentes os diabásios, que ocorrem sob a forma de diques, e sedimentos constituídos por arenitos finos a quase conglomeráticos e em certos locais, apresentam composição aproximada de um arenito arcosiano representando a Série Serra dos Martins, os quais repousam discordantemente sobre o Pré-cambriano.

TERCIÁRIO INFERIOR	SÉRIE SERRA DOS MARTINS DIABÁSIOS
DISCORDÂNCIA	
PRÉ-CAMBRIANO A	ERUPTIVAS ÁCIDAS ERUPTIVAS BÁSICAS
GRUPO CEARÁ	COMPLEXO SERIDÓ FORMAÇÃO SERIDÓ FORMAÇÃO JUCURUTU
PRÉ-CAMBRIANO B	COMPLEXO CAICÓ

Sial (1975) atribui ao enxame de diques diabásicos do Rio Grande do Norte e Paraíba, com direção E-W, idades da ordem de 125 a 130 m.a. Destaca também a ocorrência de dois diques de pequena extensão, de direção N-S, próximo a cidade de Currais Novos, de idade duvidosa, que tanto poderiam pertencer ao enxame Mesozóico, como aos eventos ígneos Terciários.



OBS: Compilação baseada na folha do milionésimo SB-24
Jaguaribe, diversos outros mapeamentos e dados
inéditos, reinterpretados segundo autores. Co-
bertura cenozóica removida.

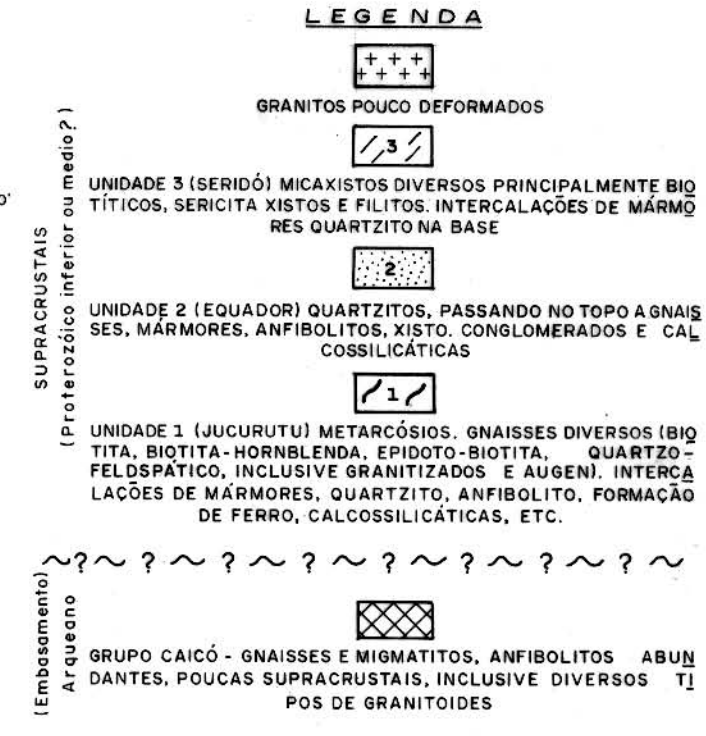


FIG. 2 - MODELO ESQUEMÁTICO E TENTATIVO DE DISTRIBUIÇÃO DE UNIDADES "ESTRATIGRÁFICAS"
NA REGIÃO DO SERIDÓ (RN-PB). (GENERALIZADO POR JARDIM DE SÁ, 1978).

Mais recentemente, Jardim de Sá (1978) propôs um modelo geral de empilhamento estratigráfico para o Complexo Seridó, como segue (Ver também Figura 2):

UNIDADE 1 ("JUCURUTU") - constituída por gnaisses diversos, derivados de sedimentos clásticos, granitizados ou não, com intercalações de marmores, quartzitos, calcossilicáticas, para-anfibolitos, formações de ferro etc.

UNIDADE 2 ("EQUADOR") - constituída por quartzitos, passando no "topo" a metaconglomerados, xistos, gnaisses "tipo Jucurutu", marmores, calcossilicáticas, para-anfibolitos, etc. Em alguns casos, grada e interdigita-se com o micaxisto Seridó.

UNIDADE 3 ("SERIDÓ") - constituída de micaxistas, filitos e xistos de baixo grau, com finas intercalações de calcossilicatadas e principalmente de quartzitos próximo à base.

Legrand (1980) apresentou uma síntese da subdivisão lito-estratigráfica para a sequência de cobertura do Seridó, destacando que a discordância entre o Seridó e o Jucurutu é estratigráfica e que ainda não foram encontradas provas de uma discordância tectônica entre estas duas unidades. (Tabela 1).

2.2 Geotectônica

A primeira tentativa para individualizar a faixa de dobramentos do Seridó como uma unidade geotectônica foi feita por Suszynski (1966) (In: Brito Neves, 1975), em termos de uma "depressão lateral" ou "intrageoossinclineos". Siqueira e Maranhão (1971, 1973) reconheceram na região do Seridó, entre o linamento de Patos e a Serra de Santana, um zoneamento geotectônico envolvendo "sulco e ruga miogeossinclinal" e "sulco e ruga eu-

"geossinclinal" e propuseram a denominação de "Geossinclinal do Seridó". Este teria a direção geral N 15°E, e as entidades geotectônicas reconhecidas, de oeste para leste foram: a) ante-país, constituído predominantemente por granitos, migmatitos, gnaisses, quartzitos e anfíbolitos, localizado na região de Caicó; b) o sulco miogeossinclinal, caracterizado por uma sequência de rochas de baixo grau de metamorfismo constituída por metasiltitos, filitos, sericita e clorita xistos, que ocorrem nas proximidades das cidades de Cruzeta, São José do Seridó, Currais Novos e Angicos; c) a ruga miogeocanticinal, representada pelos maciços de Acari, Toró, Cerro Corá, constituída predominantemente por quartzitos, gnaisses e granitos; d) o sulco eugeossinclinal, constituído por quartzitos, metaconglomerados, calcários, tactitos e xistos; e) a ruga eugeossinclinal, constituída pelas rochas predominantemente graníticas que compõem o maciço Santa Cruz.

Brito Neves (1975) propôs um modelo em termos de regionalização geotectônica do noreste, onde foram caracterizados maciços medianos (Pernambuco-Alagoas, Rio Piranhas, Tróia, Santa Quitéria e Granja), as faixas de dobramentos (Sergipana, Riacho do Pontal, Pajeú-Paraíba, Piancó-Alto Brígida, Seridó, Jaquiribe e a da região do médio Coreaú), as subfaixas (Cruzeta, Frei Martinho e outras), e as zonas geoanticlinais (Teixeira, Acari e outras).

Jardim de Sá (1978) considera que proposições de modelos e interpretações geotectônicas devem ser feitas após a computação de uma grande quantidade de dados sobre a estratigrafia, paleogeografia, metamorfismo, geoquímica das rochas ígneas, geologia estrutural, geocronologia, etc., e que na região do Seridó estes são ainda muito limitados. O autor apresenta uma série de restrições aos modelos geotectônicos propostos por outros pesquisadores (Siqueira e Maranhão, 1971, 1973; Mello e Melo, 1974; Brito Neves, 1975; Wernick et alii, 1978; Hasui et alii, 1978) e conclui que, num contexto global, as denominações de "cinturão móvel" ou mesmo "região dobrada" seriam as mais adequadas para a referida região.

3 PETROGRAFIA

3.1 Micaxistos

Os micaxistos geralmente apresentam uma textura grano-lepidoblástica, com palhetas de micas normalmente orientadas. As assembleias minerais registradas frequentemente nestas rochas são as seguintes:

- 1) quartzo - oligoclásio - muscovita - biotita - estaurolita - granada;
- 2) quartzo - oligoclásio - clorita - biotita - granada - cordierita;
- 3) quartzo - oligoclásio - clorita - biotita - andaluzita - cordierita;
- 4) quartzo - oligoclásio - clorita - biotita - granada;
- 5) quartzo - oligoclásio - ^{clorita} - biotita - cordierita;

Raramente surgem as associações:

- 6) quartzo - oligoclásio - muscovita - biotita - clorita - estaurolita - granada - sillimanita;
- 7) quartzo - oligoclásio - muscovita - biotita - clorita - granada - sillimanita - cordierita.

Quartzo

O quartzo se apresenta em cristais de pequenas dimensões, anédricos, desenvolvendo uma textura em mosaico. Ocorre frequentemente como inclusão nos porfiroblastos de granada, estaurolita e cordierita.

Plagioclásio

O plagioclásio (oligoclásio, An_{26}), se apresenta em cristais pequenos com raras maclas tipo albita.

Biotita

A biotita é a mica principal do micaxisto Seridó. A sua forma é em palhetas que mostram orientação, sendo subédrica a anédrica e variando de dimensões entre 0.1 mm e 2.0 mm. É fortemente pleocroica, Z = Y = marrom avermelhado e X = amarelo pálido. Ocorre como inclusões na granada e cordierita.

Clorita

A clorita se apresenta em palhetas curtas, com dimensões da ordem de 0.1 mm a 0.5 mm, algumas vezes com hábito fibroso. Mostra um leve pleocroísmo, Z = Y = verde claro a X = incolor, birrefringência baixa, extinção quase paralela aos traços de clivagem e, em certas palhetas, na seção (001) observa-se geminação paralela.

Muscovita

A muscovita frequentemente se apresenta em palhetas anédrais e subédrais com dimensões em torno de 0.1 mm. Acompanha a orientação preferencial das outras micas. Em certas amostras, a muscovita se encontra mais desenvolvida, atingindo até 1.5 mm a 2.5 mm.

Granada

A granada forma cristais euédricos, de tamanho em torno de 1 mm. Normalmente apresenta inclusões de minerais opacos, rotacionados em forma de "S" ("snowball garnet") e algumas vezes aparece estirada, evidenciando o esforço sofrido pelo mineral.

Estaurolita

A estaurolita se apresenta em cristais euédrais e, às vezes, como porfiroblastos de tamanho 6 mm - 1 cm. Normalmente contém inclusões de minerais opacos e quartzo, rotacionados em forma de "S"

Cordierita

A cordierita, ocorre comumente como cristais

poliquiloblásticos, com inclusões de quartzo, biotita e opacos, todos orientados segundo uma direção preferencial. Raramente estão inclusões cristais euédricos e subédricos de sillimanita, andalusita e turmalina.

Andalusita

A andalusita ocorre como relíquias corroídas, envolvidas pela cordierita, com algumas inclusões de quartzo e opacos.

Sillimanita

A sillimanita se apresenta em agregados fibrosos (fibrolital) e eventualmente como cristais euédricos inclusos na cordierita. Atinge dimensões em torno de 2.5 - 3 mm. Os minerais acessórios comuns são a turmalina, apatita e opacos.

3.2 Calcossilikatadas

São rochas de coloração cinza escura, algumas maciças, outras bandadas, de granulação fina à média, equigranular, algumas com uma leve orientação e outras com pontuações esporádicas de granada. A superfície alterada da rocha se apresenta com coloração branca e irregular, com saliências de cristais prismáticos (subédricos, com tamanho no intervalo de 0.2 - 0.5 cm) e granada que resistiram melhor à decomposição que outros minerais, principalmente os feldspatos. Ocorrem intercaladas em forma de lentes, irregulares em tamanho e espessura, nos micaxistas típicos Seridó, além de ocorrerem intercaladas nas rochas de granulação fina que afloram às proximidades das cidades de Cruzeta, Jardim do Seridó e São José do Seridó.

As assembléias minerais das rochas calcossilikatadas são complexas, sendo algumas descritas a seguir:

1) diopsídio - escapolita;

2) quartzo - plagioclásio - commingtonita - hornbleddo;

- 3) quartzo - plagioclásio - granada - diopsídio - hornblenda - esapolita - epidoto;
- 4) diopsídio - calcita - granada - titanita.

Gouveia (1976) (In: Legrand, 1980) e Legrand (1980) descrevem a presença de vesuvianita, wolastonita, epidoto, diopsídio e grossularita entre as associações minerais das rochas calcossilicatadas.

Microscopicamente foram identificados dois tipos de anfibólios. Um deles, hornblenda, se apresenta sobre a forma de cristais euédricos a subédricos e prismáticos, fortemente pleocrônicos e caracteristicamente corróidos, adquirindo um aspecto esquelético. Seu pleocroísmo é indicado pela fórmula Z = verde escuro Y = verde e X = verde amarelado e com ângulo de extinção C A Z na ordem de 15° - 18° . O outro anfibólio é uma cummingtonita, e se apresenta sob a forma de cristais euédricos a subédricos, levemente pleocrônicos. Em seções prismáticas, o ângulo de extinção C A Z é da ordem de 17° - 19° e seu ângulo óptico - $2V(+)$ - é de aproximadamente 85° .

O piroxênio, diopsídio, forma cristais subédricos, incolores e em seções prismáticas, o ângulo de extinção C A Z é da ordem de 40° .

A granada, de cor amarelo pálido, desenvolve geralmente cristais de forma anédral (só localmente euédricos), frequentemente corroídos e estirados, com inclusões de quartzo e opacos.

O plagioclásio ocorre em quantidades variáveis, como cristais anédricos, geralmente com maclamento segundo a lei da albite. A sua composição varia nas rochas desde "oligoclásio-andesina" até labradorita cálrica.

3.3 Anfibolito

Foi encontrado um único afloramento, às proximidades da mina Barra Verde, ocorrendo sob a forma de dique, cor

tando a foliação mais expressiva (F_2) do micaxisto típico Seridó. Este anfibolito, apresenta uma foliação bem desenvolvida e crenulada, assumindo um aspecto macroscópico muito semelhante ao dos micaxistas. Sua associação mineral é constituida essencialmente por hornblenda, cummingtonita, Biotita e raramente quartzo e plagioclásio.

4 ANÁLISES CRONOLÓGICAS

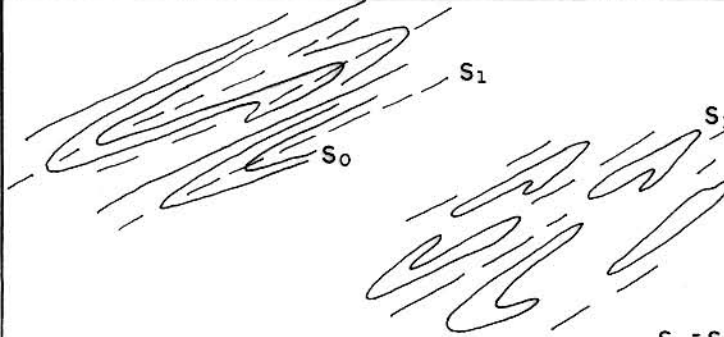
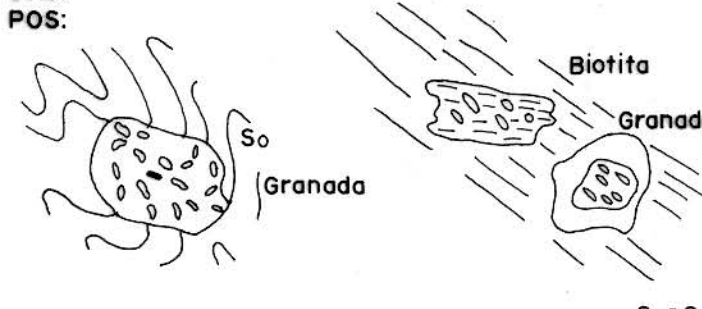
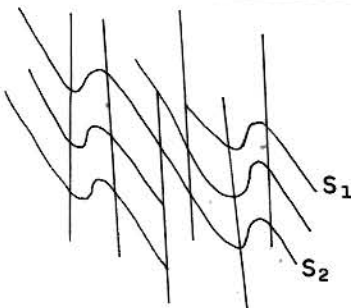
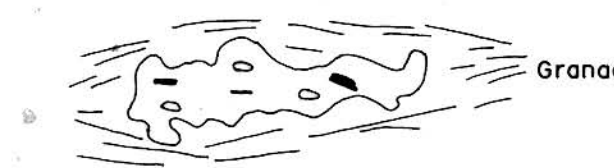
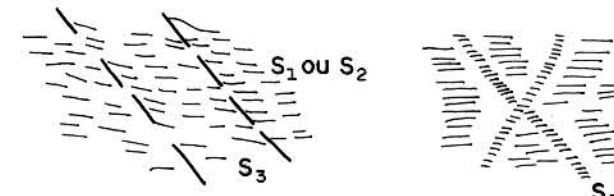
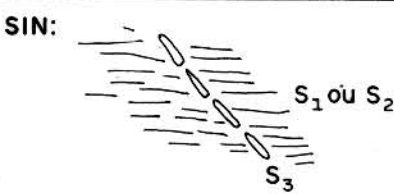
Inúmeros trabalhos envolvendo a relação entre de formação e cristalização têm sido feitos por diversos autores de diferentes partes do mundo, como exemplo, Zwart (1960 a, b, 1962) Naha (1962), Vernon (1978), Olesen (1978), Fletcher e Greenwood (1979). Na região nordeste do Brasil e em trabalhos de reconhecimento preliminar, Ries e Shackleton (1977) realizaram alguns perfis entre as cidades de Santa Cruz - Currais Novos - Flórida, Parelhas - Caicó - Brejo do Cruz e Malta - Patos - Equador, assim como Jardim de Sá (1978) percorreu a região próxima as cidades de Angicos - Açu - São Rafael esboçando uma evolução estrutural polifásica nos metassedimentos do Seridó. Minnigh e Hackspacher (1979) reconheceram nos "xistos arenosos" pertencentes à parte superior da Formação Seridó, que ocorrem nas proximidades do açude de Cruzeta - RN, três fases de deformação. A primeira fase esta representada por mesodobras de caráter isoclinal assimétricos com transposição dos flancos curtos. A segunda fase é constituída por dobras assimétricas com plano axial subvertical a ligeira vergência W. A sua foliação de plano axial é definida pela biotita. A última deformação é caracterizada por "kink bands" com planos axiais aproximadamente E - W.

Os elementos estruturais reconhecidos por Jardim de Sá (1978) foram:

a) um bandeamento dado por uma alternância de minerais micáceos e material quartzo-feldspático, desenvolvidos a partir de uma estrutura primária designada de S_0 . Segundo Ries e Shackleton (1977), corresponde a um bandeamento "pressure-solution", não paralelo ao acamamento original.

b) uma fase F_1 (Fotomicrografia 1), que envolve dobras fechadas à isoclinais, invertidas a recumbentes, evoluindo até intrafoliaias, observadas mais facilmente em escala de afloramento, a qual desenvolveu uma foliação micácea que representa S_1 (Quadro I).

c) uma fase F_2 responsável pelas dobras maiores usualmente mapeadas na região, superposta às dobras de F_1 , imprimindo

PERÍODO	ESTILO TECTÔNICO	CRES CIMENTO MINERAL
F_1	 $S_0 \approx S_1$	SIN: POS:  $S_0 \approx S_1$
F_2	 $S_2 \approx S_1$	SIN: 
F_3	 S_3	SIN: 

QUADRO I - RELAÇÕES ENTRE ESTILO TECTÔNICO (JARDIM DE SÁ, 1978) E CRES
CIMENTO MINERAL (OBSERVAÇÕES DO AUTOR).



Fotomicrografia 1 - microdobramento da fase F_1 .
Micaxisto Seridó. Amostra 267a. Obtida diretamente da lâmina delgada, com máquina fotográfica adaptada com teleobjetiva, sem auxílio do microscópio (válido igualmente para as fotomicrografias 2, 3, 4, 5 e 9).



Fotomicrografia 2 - microdobramento da fase F_1 e clivagem de cisalhamento do evento F_3 . Mica-xisto Seridó. Formação Seridó (RN). Amostra 267a.

mindo um mergulho forte aos flancos originalmente suaves destas últimas. Desenvolveu uma segunda foliação mais expressiva que representa S_2 (Quadro I).

d) uma fase F_3 (Fotomicrografia 2), que envolve efeitos de crenulação, desenvolveu uma terceira foliação que corresponde a S_3 (Quadro I).

4.1 Relação Temporal entre Deformação e Cristalização

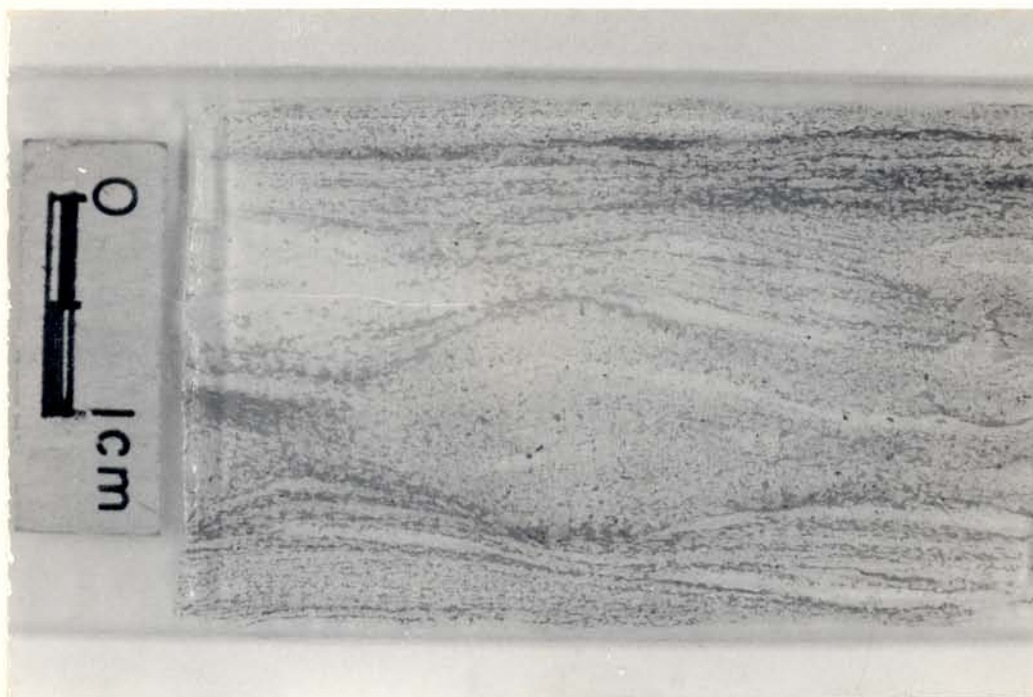
Torna-se claro que o metamorfismo atuou não somente durante as três fases de deformação, bem como, antes e depois (Gama Jr. e Albuquerque, 1979). Isto pode ser demonstrado com o auxílio das relações entre os porfiroblastos de biotita, clorita, cordierita e granada e a geometria da xistosidade interna S_i e a xistosidade externa S_e (Spry, 1969).

Observa-se em algumas amostras micas orientadas em alternância com leitos quartzo-feldspáticos e vênulas pegmatóides de quartzo, cujo conjunto caracteriza a foliação S_1 . De uma maneira bem expressiva, na maioria das amostras, estão presentes palhetas bem desenvolvidas de micas orientadas, que caracterizam a foliação S_2 . Microporfiroblastos de clorita e biotita são controlados pelos fraturamentos durante o evento F_3 de modo a formar a foliação S_3 (Figura 3 - I).

Biotita, muscovita, quartzo e feldspatos cristalizam-se sin- F_1 , de modo a formar a foliação S_1 .

Porfiroblastos de cordierita, apresentando uma "textura helicítica" (Spry, 1969), com inclusões orientadas de quartzo, biotita e opacos da foliação S_1 , cristalizaram-se sin- F_1 (Figura 3 - V). A cristalização pré- F_2 caracteriza-se pelos porfiroblastos sendo contornados pela foliação S_2 (Fotomicrografias 3 e 4).

Porfiroblastos de granada, euédricos, por vezes apresentam núcleo rotacional, que pode ser um efeito do deslocamento entre os planos das superfícies de xistosidade adjacentes ao cristal (Spry, 1963), caracterizam uma cristalização sintec-



Fotomicrografia 3 - Textura pré-cinemática. Nódulos de cordierita contornados pela superfície externa S_2 . Micaxisto Seridó. Amostra 34.



Fotomicrografia 4 - "Kink bands" e nódulos de cordierita contornados pela superfície S_2 . Miçaxisto Seridó. Amostra 34.

tônica ao evento F_1 (Cox, 1969) (Figura 3 - III) (Fotomicrografias 5 e 6); a borda normal dos cristais caracteriza uma cristalização pós- F_1 (Harvey e Ferguson, 1973) (Figura 3 - III) (Fotomicrografia 6); o estiramento do mineral em direção à foliação S_2 de marcante expressão na grande maioria das amostras indica um crescimento sin- F_2 (Misch, 1971), (Figura 3 - IV) (Fotomicrografia 7).

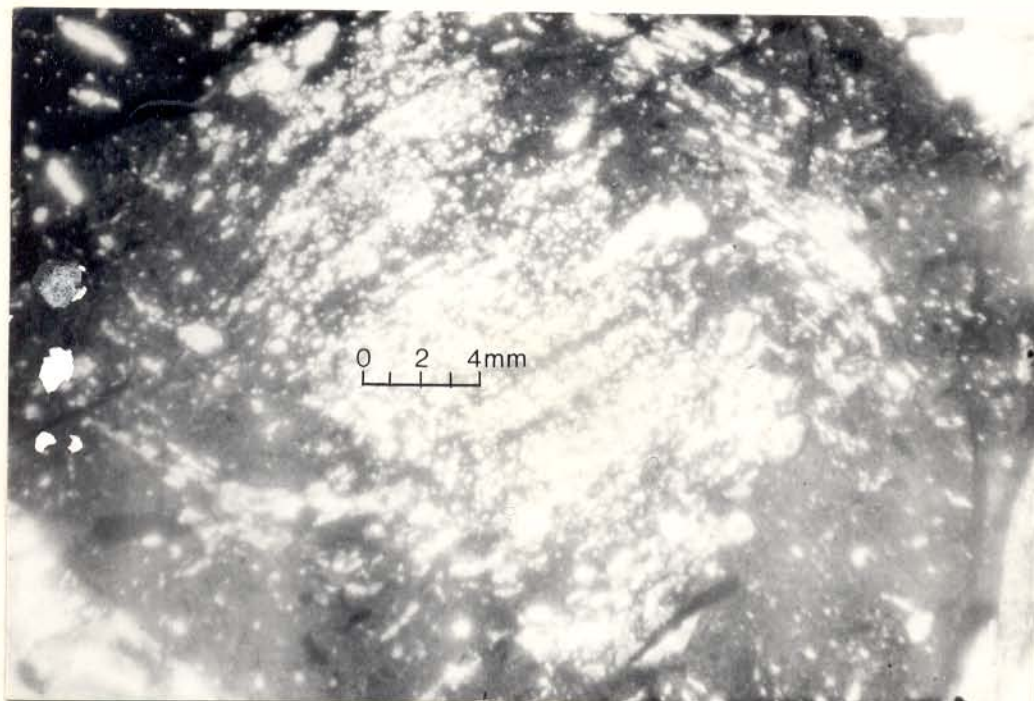
A estaurolita com textura helicítica (S_1 concorrente com S_2) (Figura 3 - II) evidencia sua cristalização pós- F_1 .

A ordem relativa de cristalização sillimanita e andalusita não foi reconhecida pelas observações microestruturais.

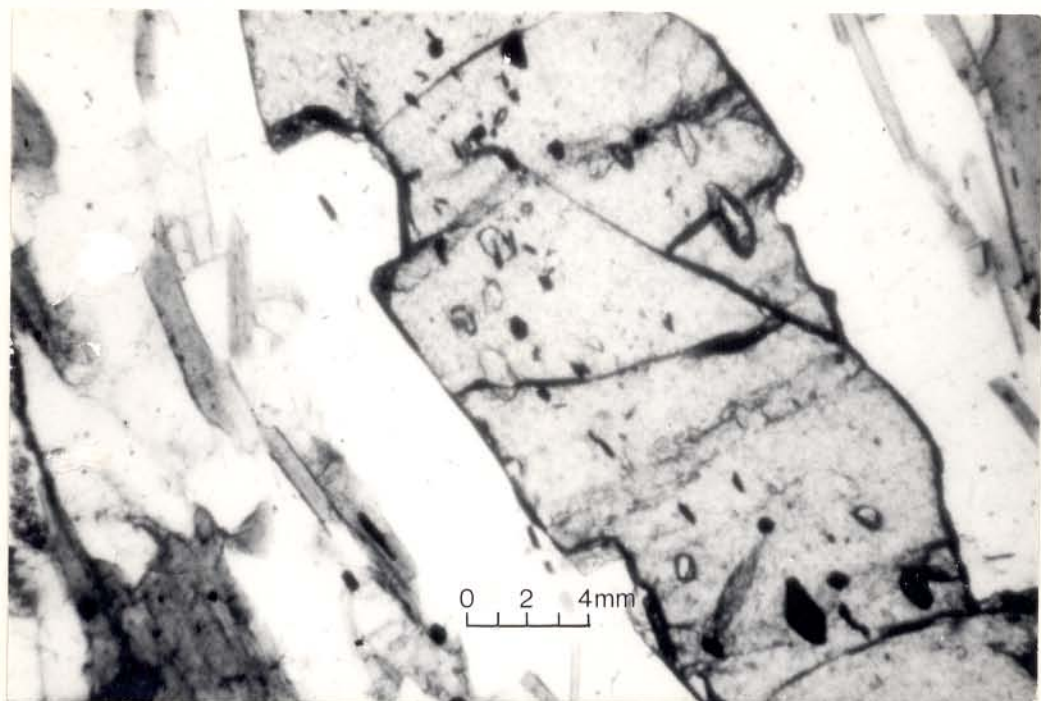
Houve crescimento estático de clorita pós- F_3 (Figura 3 - I).



Fotomicrografia 5 - Microdobramento da fase F_1 .
Granadas rotacionadas. Micaxisto Seridó. Amos-
tra 264.



Fotomicrografia 6 - Granada com centro rotacional e borda normal. Micaxisto Seridó. Amostra 264. (N.C.).



Fotomicrografia 7 - Textura sin-cinemática à
 F_2 . Granada estirada segundo a superfície
neo-formada S_2 . (N.C.).

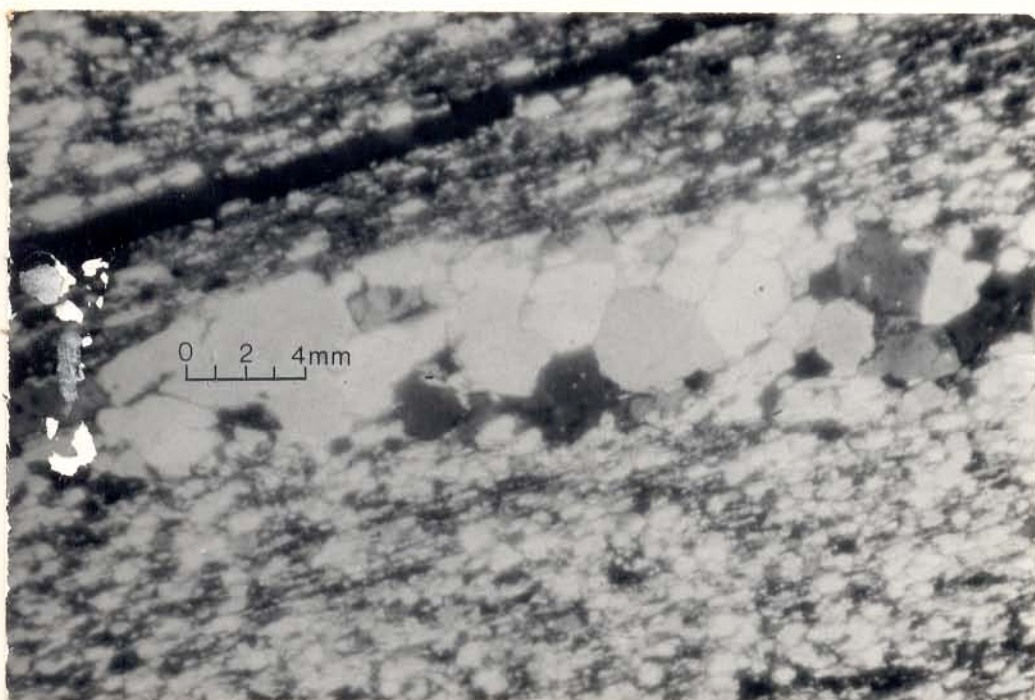


FIG.3 - ESQUEMA DAS RELAÇÕES MINERAIS VISTAS NAS SEÇÕES DELGADAS.

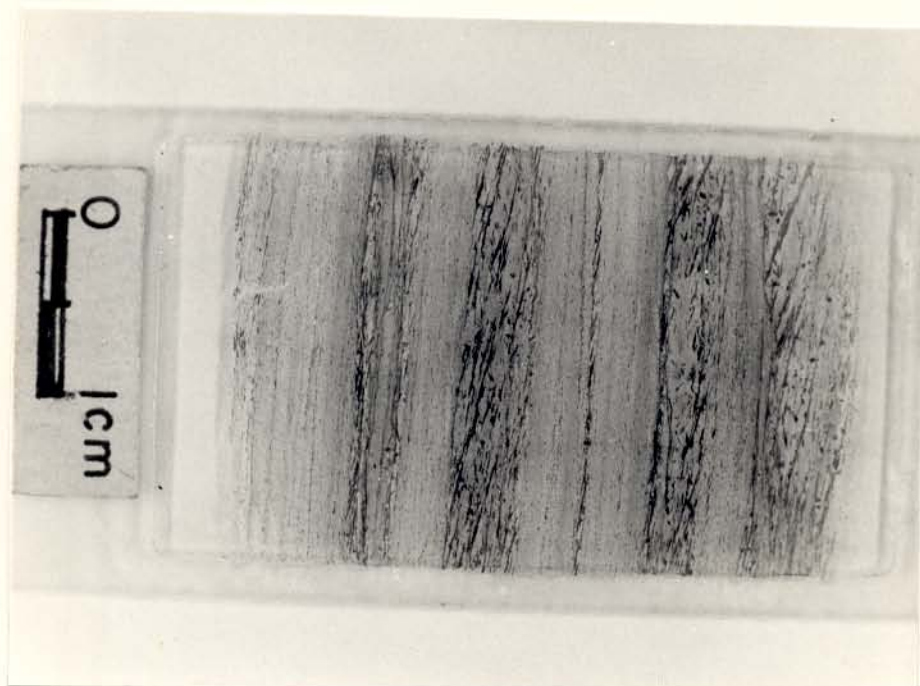
FIGURA 3 - Esquema das relações minerais vistas nas seções delgadas:

- I . A foliação S_1 formada durante F_1 está representada por curtas palhetas de biotita, relativamente dobradas durante F_2 , surgindo a foliação S_2 representada por palhetas alongadas de micas. Clivagens de fraturas de F_3 cortam a foliação S_2 , e em seus planos de clivagens há uma recristalização estática de clorita, surgindo a foliação S_3 . Veios de quartzo, provavelmente S_0 , foram dobrados durante F_1 e fracturados pela foliação S_2 durante F_2 ;
- II . Porfiroblastos de granada, andalusita, estaurolita e biotita preservados no filonito (cidade de Cruzeta). A estaurolita com textura helicitica (S_1 concordante com S_0) evidenciam sua cristalização pós-cinemática à fase F_1 ;
- III . Porfiroblastos de granada posicionados em um dos flancos de uma micro-dobra de F_1 . A primeira geração de granada mostra uma superfície interna S_1 (S_1 reliquiaria) que foi rotacionada durante F_1 ("snowball garnet") e envolvida por uma borda idiooblástica da segunda geração de granada, com crescimento pós-tectônico a F_1 ;
- IV . Porfiroblasto de granada estirado segundo a foliação S_2 ;
- V . Textura poiquiloblástica. Nódulo de cordierita contendo inclusões de quartzo, biotita e opacos orientados segundo a foliação S_1 e contornado por palhetas longas de micas da foliação S_2 , marcando sua cristalização sincinemática a F_1 e pré-cinemática a F_2 .

VI . Bandeamento quartzo-feldspáttico e faixas de segregação (xistosidade de cisalhamento - X.Z). Além de remanescentes ocelares de agregados minerais de quartzo, parcialmente recristalizados - filonito (cidade de Cruzeta) (Potomicrografias 8 e 9).



Fotomicrografia 8 - Remanentes ocelares
de agregados de quartzo, parcialmente recris-
talizados. Filonito. Amostra 215.



Fotomicrografia 9 - Bandeamento quartzo-feldspártico e faixas de segregação (Xistosidade de cisalhamento). Filonito. Amostra 215.

5 QUIMISMO

5.1 Quimismo das Rochas

Os resultados das análises químicas das rochas estudadas (Tabelas 2 e 3), foram plotados em diagramas ACF, A'KF e AFM (Figuras 4, 5 e 6), para se identificar o quimismo original dessas rochas e para se entender as relações entre a composição química e as associações mineralógicas.

Os diagramas ACF e A'KF (Figuras 4 e 5), mostram que os campos de distribuição da sequência xistosa analisada, região de Currais Novos - Parelhas (RN), coincidem com os campos de distribuição de rochas sedimentares de composição das grauvacas e pelitos estabelecidos por Winkler (1976). Desta maneira fica caracterizado que as análises químicas confirmam as observações petrográficas, indicando que os micaxistos Seridó originaram-se de uma sequência de rochas sedimentares com predominância destes tipos litológicos. As composições químicas das rochas calcossilicatadas sugerem que as rochas que lhe deram origem tinham uma composição carbonática impura.

A análise química do anfibolito (amostra nº 267b, Tabela 3), com exceção ao elevado teor em K_2O , sugere que este resultou possivelmente de uma rocha de composição ultramáfica, semelhante em composição aos peridotitos e inclusive aos peridotitos komatiíticos (Tabela 4).

5.2 Quimismo dos Minerais

A granada que ocorre nos metapelitos da região do Seridó, pertence ao grupo conhecido como pyralspita, que é constituído essencialmente por moléculas de espessartita ($Mn-Al$), almandina ($Fe^{2+}-Al$), piropo ($Mg-Al$) e por quantidades subordinadas de grossulária ($Ca-Al$) e andradita ($Ca-Fe^{3+}$) (Deer, Howie e Zussman, 1962). Granadas deste tipo são comuns em áreas sujeitas a metamorfismo regional na fácie anfibolito (Winkler, 1976). A granada da região Currais Novos - Parelhas contém moléculas de

	225	215	46	261	118	267a	264	256	216	217
SiO ₂	60.60	63.26	69.97	59.75	69.19	63.44	65.04	63.91	58.99	65.75
TiO ₂	0.97	0.89	0.79	0.85	0.74	0.92	0.95	0.90	0.80	0.77
Al ₂ O ₃	18.04	16.32	12.81	19.48	15.49	17.86	15.17	16.86	18.59	15.40
Fe ₂ O ₃	-	-	-	-	-	-	-	-	-	-
FeO _T	7.80	7.00	5.22	8.75	3.53	6.96	5.92	6.20	8.55	2.83
MnO	0.20	0.14	0.16	0.22	0.10	0.18	0.14	0.12	0.19	0.10
MgO	4.47	3.45	2.56	4.36	2.19	3.93	3.37	2.96	4.89	3.07
CaO	1.75	1.96	2.04	0.87	1.53	2.16	2.98	2.61	2.52	4.33
Na ₂ O	2.23	2.92	2.92	1.46	3.27	1.93	3.04	3.46	1.73	3.54
K ₂ O	2.70	2.71	2.00	2.46	2.40	2.21	2.44	2.57	2.58	1.88
P ₂ O ₅	0.25	0.18	0.22	0.13	0.21	0.20	0.20	0.20	0.16	1.03
TOTAL	99.01	98.83	98.69	98.33	98.65	99.79	99.25	99.79	99.00	98.70

Tabela 2 : Análises Químicas de Rochas Metassedimentares da Faixa de Dobramento Seridó(RN).

Nota: (225) - quartzo-plagioclásio-biotita-muscovita-clorita-granada-andalusita-fibrolita xisto;
 (215) - quartzo-plagioclásio-biotita filonito;
 (46) - quartzo-plagioclásio-biotita-granada xisto;
 (261) - quartzo-plagioclásio-biotita-muscovita-clorita-cordierita-andalusita-fibrolita xisto;
 (118) - quartzo-plagioclásio-biotita-muscovita-granada-estaurolita filonito;
 (267_a) - quartzo-plagioclásio-biotita-muscovita-clorita-cordierita-granada-fibrolita xisto;
 (264) - quartzo-plagioclásio-granada xisto;
 (256) - quartzo-plagioclásio-biotita-muscovita-clorita-cordierita-granada xisto;
 (216) - quartzo-plagioclásio-biotita-muscovita-clorita-cordierita-granada-estaurolita xisto;
 (217) - quartzo-plagioclásio-biotita-muscovita-clorita-cordierita-granada xisto.

	61	201	106	33	1	267b
SiO ₂	68.00	71.12	55.00	67.57	67.23	50.20
TiO ₂	0.59	0.88	0.64	0.75	0.83	0.58
Al ₂ O ₃	15.47	12.09	15.32	13.60	10.24	6.59
Fe ₂ O ₃	-	-	-	-	-	-
FeO _T	4.00	4.60	6.50	5.40	3.84	8.31
MnO	0.66	0.12	0.68	0.24	0.28	0.18
MgO	2.11	2.08	2.96	2.46	2.00	20.72
CaO	8.00	5.10	17.67	6.22	13.92	7.30
Na ₂ O	0.73	1.50	0.42	1.89	0.40	0.40
K ₂ O	0.20	2.25	0.16	0.38	0.25	3.75
P ₂ O ₅	0.32	0.18	0.19	0.18	0.22	0.39
TOTAL	100.08	99.92	99.54	98.69	99.21	98.42

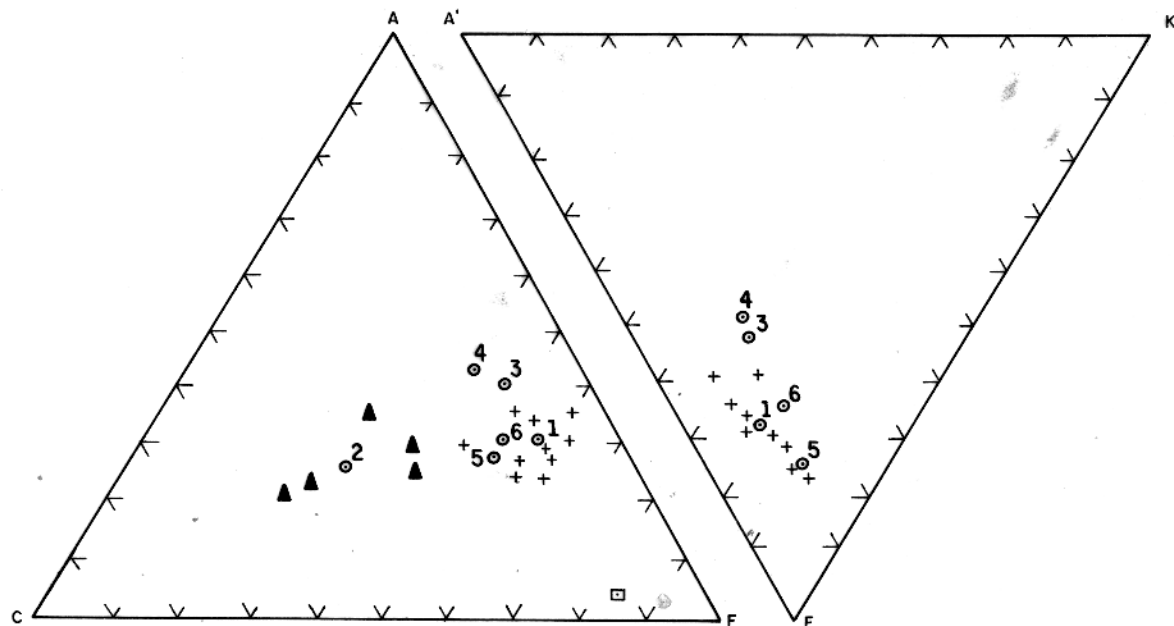
Tabela 3: Análises Químicas de Rochas Calcossilicatadas e Anfibolito (267b) da faixa de Dobramento Seridó (RN).

Notas: (61) - quartzo-plagioclásio-granada-cummingtonita
 (201)- quartzo-plagioclásio-hornblenda-cummingtonita
 (106)- quartzo-plagioclásio-diopsídio-epidoto
 (33) - quartzo-plagioclásio-hornblenda-cummingtonita
 (1) - quartzo-plagioclásio-hornblenda-cummingtonita
 (267b) - quartzo-plagioclásio-flogopita-cummingtonita

	1	2	3	4	5	6	7	8
SiO ₂	63.99	65.78	64.3	59.93	66.7	62.8	48.2	45.65
TiO ₂	0.86	0.74	1.0	0.85	0.6	0.7	0.49	0.67
Al ₂ O ₃	16.60	13.34	17.5	16.62	13.5	15.1	8.89	11.33
Fe ₂ O ₃	-	-	2.1	3.03	-	-	2.63	1.99
FeO	6.28 _T	4.85 _T	4.6	3.18	4.95 _T	5.6 _T	8.7	8.23
MnO	0.16	0.40	0.1	-	-	-	0.20	0.17
MgO	3.53	2.32	2.7	2.63	2.1	2.35	21.8	20.73
CaO	2.28	10.18	1.9	2.18	2.5	2.35	8.6	7.52
Na ₂ O	2.65	0.99	1.9	1.73	2.9	2.25	0.49	1.37
K ₂ O	2.40	0.65	3.7	3.54	2.0	2.8	0.03	0.94
P ₂ O ₅	0.28	0.22	0.2	-	-	-	-	0.16
TOTAL	99.03	99.47	100.00	93.69	95.25	93.95	100.03	98.76

Tabela 4 : Médias de Análises Químicas de Rochas Sedimentares, Metamórficas e Igneas

OBS. 1 e 2 - rochas metapelíticas e calcossilicatadas da faixa de dobramento Seridó (RN), respectivamente; 3 - micaxistos (Miyashiro, 1975); 4 - argilas, folhelhos e ardósias (Miyashiro, 1975); 5 - grauvacas (Wedepohl, 1969); 6 - grauvacas e pelitos (1:1) (Wedepohl, 1969); 7 - lava komatiítica peridotítica (Arndt, Naldrett, and Pyke, 1977); 8 - plagioclásio peridotito contendo flogopita (Albuquerque, 1979)



- + ANÁLISES DAS ROCHAS METAPELÍTICAS
- ▲ ANALISES DAS ROCHAS CALCOSILICATADAS
- ANÁLISE DO ANFIBOLITO
- MÉDIAS DA TABELA 4

FIG. 4 - DIAGRAMAS ACF e A'KF DAS ANÁLISES QUÍMICAS DAS TABELAS 2, 3 e 4.

IA

ARGILAS RICAS EM AI. E FOLHELHOS

IB

ARGILAS E FOLHELHOS SEM CARBONATO OU CONTENDO ATÉ 35% DE CARBONATO ENTRE FLECHAS: MARGAS CONTENDO DE 35-65% DE CARBONATO.

II

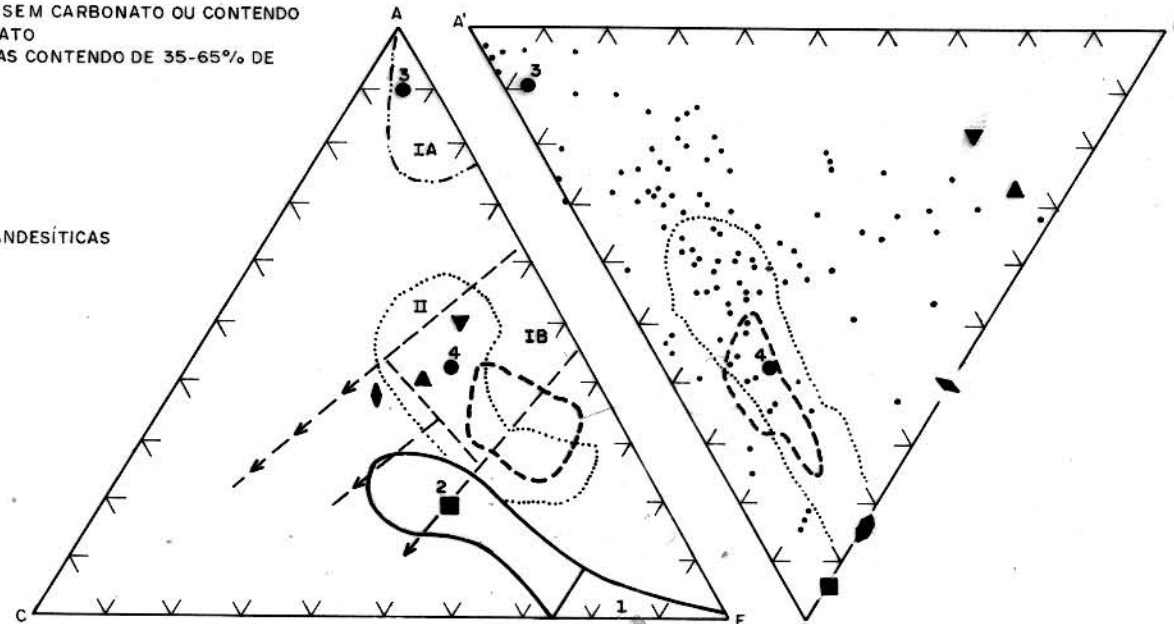
GRAUVACAS

1

ROCHAS ULTRABÁSICAS

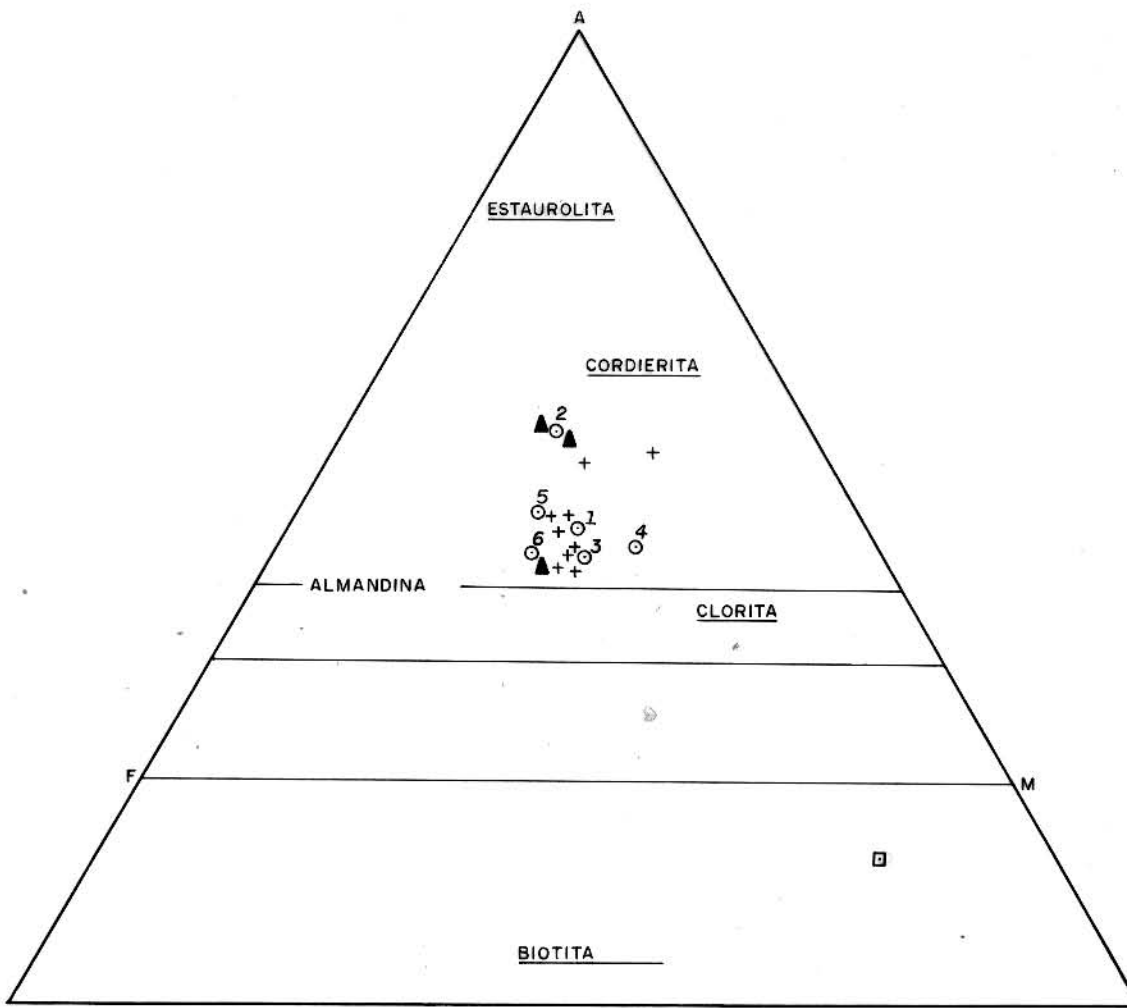
2

ROCHAS BASÁLTICAS E ANDESÍTICAS



FONTE: WINKLER (1976)

FIG. 5 - COMPOSIÇÕES QUÍMICAS DE VÁRIAS ROCHAS MAGMÁTICAS E SEDIMENTARES PROJETADAS EM DIAGRAMAS ACF e A'KF. CAMPOS DOS METASSEMENTOS DA REGIÃO DE CURRAIS NOVOS - PARELHAS (RN).



- + ANÁLISES DAS ROCHAS METAPELÍTICAS
- ▲ ANÁLISES DAS ROCHAS CALCOSILICATADAS
- ANÁLISE DO ANFIBOLITO
- MÉDIAS DA TABELA 4

FIG.6 - DIAGRAMA AFM DAS ANÁLISES QUÍMICAS DAS
TABELAS 2, 3 e 4.

almandina (89% a 72%), de piropo (12%), de especcartita (13% a 14%) e menos de 5% de grossulária e andradita (Tabela 5).

A cordierita contém cerca de 1.25 a 1.30 átomos de magnésio e 0.70 a 0.77 átomos de ferro por fórmula (Tabela 6).

O plagioclásio, expresso em termos de componentes ortoclásio, albita e anortita, corresponde ao oligoclásio (An_{26}) (Tabela 7).

	216	41
SiO ₂	36.66	36.56
TiO ₂	0.04	0.06
Al ₂ O ₃	20.80	21.11
FeO*	29.87	32.36
MnO	6.09	5.86
MgO	2.93	3.11
CaO	1.48	0.99
TOTAL	97.87	100.05

NÚMERO DE IONS NA BASE DE 24 OXIGÉNIOS

Si	6.015	5.915
Al	4.021	4.020
Ti	0.005	0.007
Fe ²⁺	4.099	4.379
Mn	0.846	0.803
Mg	0.716	0.750
Ca	0.260	0.171
Fe ²⁺ /Fe ²⁺ +Mg	0.85	0.85

PERCENTAGEM DOS COMPONENTES MOLECULARES

Almandina	69.2	71.8
Andradita	0.1	0.2
Grossularia	4.3	2.8
Piropo	12.1	12.3
Espessartita	14.3	13.2

Tabela 5 : Composição química da granada dos micaxistas Seridó obtida por microssonda eletrônica.

* Todo ferro calculado como FeO

	216	41
SiO ₂	49.63	48.19
TiO ₂	0.04	0.03
Al ₂ O ₃	32.15	32.28
* FeO	8.00	8.92
MnO	0.28	0.39
MgO	8.38	8.06
CaO	0.02	0.04
Na ₂ O	0.31	0.27
TOTAL	98.81	98.18

NÚMERO DE IONS NA BASE DE 18 OXIGÊNIOS

Si	5.183	4.996
Al	3.711	3.944
Ti	0.003	0.002
Fe	0.699	0.773
Mn	0.025	0.034
Mg	1.304	1.246
Ca	0.003	0.004
Na	0.062	0.054
Fe/Fe+Mg	0.35	0.38

Tabela 6 : Composição química da cordierita dos micaxistos Seridó obtida por microssonda eletrônica.

* Todo ferro calculado como FeO

AMOSTRAS	215	246	41
An	26.3	24.8	25.4
Or	0.6	0.5	0.5
Ab	73.1	74.7	74.1

Tabela 7 : Médias da composição química do plagioclásio dos mica_xistos Seridó (em termos de anortita, albite e ortoclásio) obtidas por microssonda eletrônica.

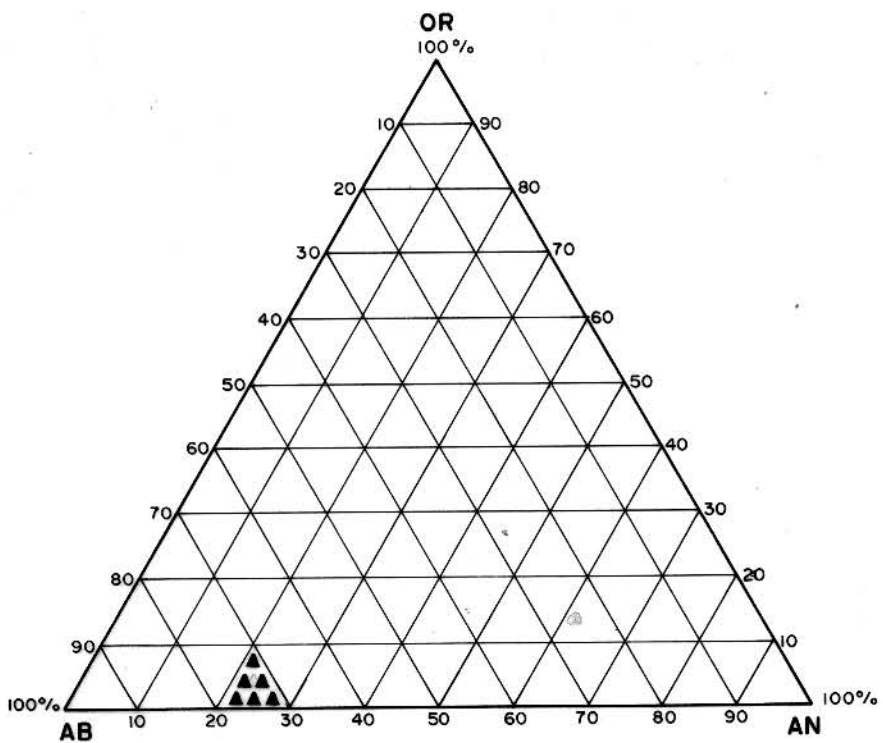


FIG. 7 - COMPOSIÇÃO QUÍMICA DO PLAGIOCLÁSIO, EXPRESSA EM TERMOS DOS COMPONENTES ALBITA, ANORTITA E ORTOCLÁSIO, OBTIDA POR MICROSSONDA ELETRÔNICA. SEQUÊNCIA XISTOSA SERIDÓ, REGIÃO DE CURRAIS NO NOVOS - PARELHAS (RN).

6 TEMPERATURA E PRESSÃO DO METAMORFISMO [Coeficiente de Distr_
buição K_D :

Entre os trabalhos experimentais que utilizaram a coexistência de granada e cordierita em equilíbrio, baseados essencialmente na razão Mg/Fe ou seja, no K_D , para definir e aplicar os valores de temperatura e pressão, estão: Hensen e Green (1971, 1972, 1973), Currie (1971, 1974) Hutcheon et alii (1974), Thompson (1976, a, b) e Holdaway e Lee (1977). As relações do K_D com a temperatura e pressão são variáveis entre os trabalhos acima citados.

Para definir os valores da temperatura e pressão do metamorfismo imprimido às rochas da região de Currais Novos - Parelhas (RN), que pertencem à faixa de dobramento Seridó (Tabela 8), foram utilizados as calibragens de Currie (1971) e Thompson (1976 b), uma vez que os trabalhos dos outros autores foram desenvolvidos em regiões cujo grau de metamorfismo é muito alto, bem distinto do que atingiu a área em questão.

Currie (1971) considerou $K_D = Fe^{Gr} \cdot Mg^{Crd} / Mg^{Gr}$. Fe^{Crd} e sendo a temperatura T obtida pela equação $T=4515/(6.37-1nK)$, enquanto que a pressão é obtida a partir do gráfico da Figura 3 (Currie, 1971, op. cit., p. 224).

Thompson (1976 b) considerou $K_D = Fe^{Gr} \cdot Mg^{Crd} / Mg^{Gr} \cdot Fe^{Crd}$ sendo a temperatura obtida a partir do gráfico da Figura 1 (Thompson, 1976 b, op. cit., p. 429) e a pressão a partir do gráfico da Figura 3 (Thompson, 1976 b, op. cit., p. 437).

Ao analisar os valores de temperatura e pressão obtidos a partir da calibragem de Currie (1971), para a reação 3 cordierita = 2 granada + 4 sillimanita + 5 quartzo, na região de Opinicon Lake, Ontario, admitimos que estes são absurdos no que se refere à temperatura, em relação ao tipo de metamorfismo que atuou na região de Currais Novos - Parelhas (RN) (Tabela 8), sendo isto provavelmente devido à dificuldade em calibrar o geotermômetro para as razões Fe/Fe+Mg da granada superiores a 0.70 (Currie, 1971), tal como ocorre com as granadas das associações mineralógicas da sequência xistosa Seridó (Tabela 5).

Os valores obtidos a partir da calibragem de Thompson (1976 b) são aceitáveis, pois correspondem a condições de P e T compatíveis com as que foram determinadas por outras evidências, como sejam, a existência de andalusita ou muscovita (Winkler, 1976).

	AMOSTRA	X_{Mg}^{Crd*}	X_{Mg}^{Gr*}	$\ln K_D^{(Crd-Gr)}$	T(°C)	P(kbar)
Currie (1971)	216	0.65	0.15	2.37	856	3.2
	41	0.62	0.15	2.37	820	3.5
Thompson (1976 b)	AMOSTRA	X_{Mg}^{Crd}	X_{Mg}^{Gr}	$\ln K_D^{(Crd-Gr)}$	$T(°C)$ ± 30°	P(kbar)
	216	0.65	0.15	2.37	550	4.0
	41	0.62	0.15	2.37	550	4.0

Tabela 8 : Valores de temperatura e pressão de metamorfismo para a região de Currais Novos - Parelhas (RN).

* Crd = Cordierita

* Gr = Granada

7. METAMORFISMO

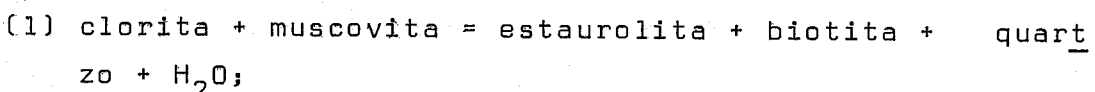
Os dados geológicos e geoquímicos ora disponíveis sobre a sequência xistosa Seridó, distribuída na faixa do brada Seridó, já permitem caracterizar as condições de temperatura e pressão, assim como a distribuição e evolução do metamorfismo na região de Currais Novos - Parelhas (RN).

Essencialmente, a definição dos valores de temperatura e pressão do metamorfismo para a área estudada, teve apoio na coexistência dos minerais granada e cordierita em equilíbrio nos micaxistas Seridó, além de considerarmos a presença de estaurolita (Richardson, 1968), cordierita e dos polimorfos de Al_2SiO_5 , andalusita e sillimanita. Os trabalhos experimentais que utilizaram o par coexistente, cordierita e granada, como geotermômetro e geobarômetro, são limitados. Selecionamos os trabalhos de Currie (1971) e de Thompson (1976 b), uma vez que os outros trabalhos se referem a graus de metamorfismo bem mais elevados, em relação ao que atingiu a região em questão.

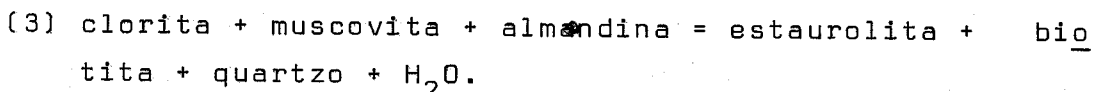
No trabalho experimental de Currie (1971), as assembleias minerais analisadas (cordierita - biotita, cordierita-sillimanita, cordierita - granada - biotita - sillimanita, cordierita - granada - sillimanita e cordierita - sillimanita - andalusita) na região de Opinicon Lake, Ontario, são semelhantes às registradas na região de Currais Novos - Parelhas (RN). Porém, os valores de temperatura obtidos a partir da calibragem de Currie (1971), para a área estudada são altos, quando comparados com o tipo de metamorfismo que atuou na mesma. Essa discrepância parece ser devido a problemas de calibragem do geotermômetro, para valores da razão $\text{Fe}/(\text{Fe}+\text{Mg})$ das granadas superiores a 0.70. Assim, as granadas da região de Opinicon Lake têm valores desta razão geralmente inferiores a 0.70, enquanto que na granada do micaxisto Seridó são de 0.85, embora as associações mineralógicas sejam semelhantes. Por outro lado, os valores de temperatura e pressão obtidos a partir da calibragem de Thompson (1976 b) são compatíveis com os valores estimados por outras linhas de evidências

petrológica como seja a presença de muscovita.

Para caracterizar o começo da fácie anfibolito em metapelitos e metagrauvacas, Winkler (1976) decidiu pelo desaparecimento de clorítóide e de clorita pobre em Mg (em reação com quartzo e muscovita), estabilizando a estaurolita, segundo a reação:



ou a reação anterior (1) pode envolver a granada almandina, como foi deduzido por Carmichael (1970) (In: Winkler, 1976) a partir de observações petrográficas:



Isto é também confirmado pelo aparecimento de plagioclásio tipo oligoclásio e não de albíta (Winkler, 1976).

É desta forma que a estabilidade de estaurolita, cordierita, andalusita, muscovita e fibrolita nas paragêneses da sequência xistosa Seridó, aliada ao desenvolvimento eventual de cristais maiores de sillimanita nestas mesmas rochas, à composição química da granada, essencialmente almandina (69% à 72%), com cerca de 14% de espressartita (Tabela 5), além da composição química do plagioclásio (oligoclásio, An₂₆) (Tabela 7), caracterizam o metamorfismo regional na área estudada na fácie anfibolito baixo a médio e de pressão baixa à intermediária (Turner, 1968).

Como o metamorfismo regional da área em questão, pertence à fácie anfibolito baixo a médio, poderia se supor que toda a clorita primária, distribuída por toda a extensão da área (Anexo II), nas paragêneses minerais, tanto dos micaxistos típicos Seridó, como nas rochas de granulação fina (aflorantes pró-

ximo as cidades de Cruzeta, Jardim do Seridó e São José do Seridó), fosse consumida em reação com quartzo e muscovita, durante este estágio metamórfico para estabilizar a estaurolita e cordierita. No entanto, estudos petrográficos de certos autores (Guidotti, 1974; Froese e Gasparrine, 1975; In: Winkler, 1976) demonstram que em metapelitos ricos em MgO (razão MgO/FeO+MgO muito próximo ou superior à 0.50), uma clorita rica em magnésio, pode ser estável junto com estaurolita + muscovita + quartzo + biotita dentro do metamorfismo de grau médio (fácies anfibolito). Como as rochas da sequência xistosa Seridó, na região de Currais Novos - Parelhas, são ricas em Mg (razão MgO/MgO+FeO > 0.50), justifica-se a estabilidade da clorita primária nas suas paragênese minerais em equilíbrio com a estaurolita e cordierita.

As assembléias minerais registradas na sequência xistosa Seridó - como exemplo: (3) quartzo-oligoclásio-clorita-biotita-andalusita-cordierita; (6) quartzo-oligoclásio-muscovita-biotita-clorita-estaurolita-granada-silimanita; (7) quartzo-oligoclásio-muscovita-biotita-clorita-granada-silimanita-cordierita - sugerem um grande número de componentes, que deverão ser: MgO, CaO, SiO₂, Al₂O₃, K₂O, Na₂O, FeO e MnO. Por sua vez, se for aplicada a regra das fases de Goldsmith - o número máximo de fases cristalinas que podem coexistir em equilíbrio em rocha é igual ao número de componentes, C > p, e considerando que o metamorfismo pertence a um sistema fechado, ocorrendo apenas mudanças nas fases mineralógicas em função de P e T - acreditamos com base nas observações acima que as fases cristalinas coexistem em equilíbrio nos micaxistos e que, o metamorfismo regional na fácie anfibolito baixo à médio, na área estudada, envolveu um único evento.

Segundo Winkler (1976) a coexistência de granada rica em almandina e cordierita é conhecida em certas rochas, que pertencem à zona de grau médio (fácie anfibolito). Ele cita as seguintes paragênese como diagnósticas dessa zona:

- (1) cordierita + almandina + biotita + muscovita + quartzo + plagioclásio;

- (2) cordierita + almandina + silimanita + muscovita + quartzo ± plagioclásio;
- (3) cordierita + almandina + silimanita + biotita + muscovita + quartzo ± plagioclásio.

Também observa que Osberg (1968) (In: Winkler, 1976) encontrou adicionadas às paragêneses acima descritas, andalusita e estaurolita, em substituição a silimanita.

Consideramos que nas paragêneses da sequência xistosa Seridó, a coexistência da granada e cordierita seja controlada pelas quantidades de MgO, FeO, MnO e possivelmente CaO, da rocha original, ou seja, além da razão FeO/MgO, à presença de MnO (em quantidades significativas na granada: 14% de espessartita) e também CaO poderá influenciar no controle da estabilidade desse mineral (Wynne-Edwards e Hay, 1963).

Com base na interpretação do mapa de pontos (Anexo II) fica explícito que, para toda a extensão da região estudada, existe uma distribuição espacial uniforme das associações minerais (granada, cordierita, andalusita, silimanita, estaurolita e clorita). Esta ocorrência uniforme, tanto nos micaxis tos Seridó, que ocupam cerca de 90% da área em questão, quanto nas rochas de granulação fina, que afloram nas proximidades das cidades de Cruzeta, Jardim do Seridó e São José do Seridó, nos permite sugerir que o zoneamento metamórfico definido por Mello e Mello (1972, 1974), envolvendo a fácie xisto-verde (que seria representada por filitos, cuja assembléia mineral era constituída por clorita-biotita-granada-quartzo±plagioclásio) e a fácie cordierita anfibolito, com acréscimo do grau metamórfico de oeste para leste, não têm apoio nas nossas observações. Admitimos que, o metamorfismo regional foi uniforme (fácie anfibolito baixo a médio, do tipo pressão baixa a intermediária) para toda a extensão da região de Currais Novos - Parelhas (RN), compreendida entre áreas de embasamento representado pelo Grupo Caicó.

A partir das análises petrográficas e por microscópica eletrônica, não foi identificada qualquer evidência de um evento retrometamórfico regional, da fácie anfibolito para a

fácies xisto-verde. Porém, limitado a crenulação tardias, em estreitas zonas de cisalhamento (próximo as cidades de Cruzeta, Jardim do Seridó e São José do Seridó), esse tipo de metamorfismo se faz presente. Sendo que as rochas metamorfisadas regionalmente na fácies anfibolito baixo a médio foram submetidas a um metamorfismo cataclástico ainda na fácies anfibolito, porém em condições de temperatura mais baixa, originando rochas milonitizadas. Consideramos que o metamorfismo cataclástico, imprimido nas rochas já metamorfisadas anteriormente na fácies anfibolito, causou apenas uma redução na granulometria dessas rochas, e que não acarretou modificações na sua composição mineralógica (Figura 3 -VI). Certos minerais, provavelmente devido ao seu grau de resistência, foram preservados sobre a forma euédrica (ex. granada, estaurolita), sendo considerados como remanescentes do metamorfismo regional na fácies anfibolito. Classificamos estas rochas de granulação fina como sendo filonitos, e não como filitos, conforme vem sendo feito pelos vários trabalhos anteriores (Siqueira e Maranhão, 1971, 1973; Torres, et alii 1973; Mello e Mello, 1972, 1974; Brito Neves, 1975).

As rochas calcossilicatadas intercaladas à sequência xistosa Seridó, foram afetadas pelo metamorfismo regional na fácies anfibolito baixo a médio, que se reflete em sua associação mineral pela presença de diopsídio, hornblenda, cummingtonita, granada, epidoto, quartzo, plagioclásio (oligoclásio-andesina). Tanto na mina Brejuf, Currrais Novos (Gouveia, 1976) (In: Legrand, 1980), como na mina Feiticeiro, Lages (Legrand, 1980), é referida a presença de vesuvianita, wolastonita, epidoto e grossularita entre as paragêneses das calcossilicatadas. Tilley (1927) e Trommsdorff (1968) (In: Winkler, 1976) descreveram que a vesuvianita, junto com diopsídio e/ou grossularita e vesuvianita + epidoto, são encontrados em rochas submetidas a um metamorfismo regional na fácies anfibolito.

Aliadas às observações petrográficas, as análises químicas da sequência xistosa Seridó, plotadas nos diagramas ACF e A'KF (Figuras 4 e 5) permitem a conclusão que o campo de distribuição dessas rochas coincide com o campo de distribui

ção das rochas sedimentares de composição das grauvacas e pelitos estabelecido por Winkler (1976). Portanto admitimos que tanto os micaxistos como os filonitos da região estudada originaram-se de rochas sedimentares, com predominância de pelitos e grauvacas. Já as rochas calcossilicatadas são produtos de rochas sedimentares de composição carbonática impura. No que tange ao anfibolito (amostra nº 267 b, Tabela 3) sua composição química, com exceção ao teor elevado em K_2O , sugere que esse teve como origem uma rocha de composição ultramáfica, semelhante em composição química aos peridotitos e inclusive aos peridotitos komatiíticos (Tabela 4).

Tanto as paragêneses minerais e as condições de temperatura e pressão, quanto a composição química da grana (predomínio da almandina - 69% à 72%, com 14% de molécula de espressartita), nos levam a correlacionar o tipo de metamorfismo, da área estudada ao que foi registrado no cinturão Abukuma-Ryoke, Japão (Miyashiro, 1961, 1975).

8 CONCLUSÕES

As conclusões obtidas na pesquisa desenvolvida na região de Currais Novos - Parelhas (RN), podem ser divididas em dois grupos:

1) as concernentes às relações entre cristalização mineral e deformações, resumidas no Quadro II, onde:

1.1 a partir das relações entre os porfiroblastos de biotita, clorita, cordierita e granada e a geometria da foliação interna S_i e a foliação externa S_e , admitimos que o metamorfismo atuou não somente durante as três fases de deformação, bem como, antes e depois;

1.2 concluimos que a biotita, muscovita, quartzo e feldspatos cristalizaram-se sin- F_1 , de modo a formar à foliação S_1 (Figura 3), a cordierita cristalizou sin- F_1 e pré- F_2 ; a granada cristalizou sin- F_1 , pós- F_1 e sin- F_2 ; a estaurolita cristalizou pós- F_1 ; houve crescimento estático de clorita pós- F_3 e não foi reconhecida a cristalização relativa da sillimanita e da andalusita (Gama Jr. e Albuquerque, 1979);

2) aquelas de cunho petrológico, que são as seguintes:

2.1 com base na calibragem de Thompson (1976 b), fundamentada no par mineral coexistente, granada e cordierita, reforçada pela presença de estaurolita, andalusita e sillimanita, concluimos que as condições de temperatura e pressão durante o metamorfismo na área foram de 550°C e 4.0 Kbar, respectivamente (Tabela 8);

2.2 somando-se a estabilidade e importância de estaurolita, andalusita, cordierita, muscovita e fibrolita (eventualmente cristais maiores de sillimanita), à composição química da granada (predomínio de almandina - 69% à 72%, com cerca de 14% de espessartita) (Tabela 5), além da composição química do plagioclásio (oligoclásio An_{26}) (Tabela 7), situamos o metamor-

fismo regional na área estudada na fácie anfibolito baixo a médio e de pressão baixa a intermediária;

2.3 a análise das ocorrências mineralógicas (granada, estaurolita, cordierita, andalusita, sillimanita e clorita), registradas na sequência xistosa Seridó (Anexo II), caracteriza uma distribuição espacial homogênea, por toda a extensão da região de Currais Novos - Parelhas (RN), atribuída a uma uniformidade da temperatura máxima do metamorfismo;

2.4 com base nesta distribuição uniforme das assembleias minerais, concluimos que o zoneamento metamórfico definido por outros autores (Mello e Mello, 1972, 1974) não foi confirmado pelas nossas observações. Admitimos que o metamorfismo regional (fácie anfibolito baixo a médio) foi único para toda a extensão da área estudada;

2.5 concluimos que a clorita primária distribuída por toda extensão da área (Anexo II) não foi consumida durante este estágio metamórfico, em razão do químismo particular das rochas que apresentam um teor elevado em MgO;

2.6 a partir das análises petrográficas e por microssonda eletrônica, não foi identificada qualquer evidência de um evento retrometamórfico regional, da fácie anfibolito para a fácie xisto-verde. Porém, admitimos que, limitado a crenulações tardias, em estreitas zonas cisalhadas (próximo às cidades de Cruzeta, Jardim do Seridó e São José do Seridó), este tipo de metamorfismo se faz presente. De onde concluimos que as rochas metamorfizadas regionalmente na fácie anfibolito baixo a médio, foram submetidas a um metamorfismo cataclástico, ainda na fácie anfibolito, em condições de temperatura mais baixa originando rochas milonitizadas. Consideramos que este evento cataclástico tardio não causou uma mudança na composição mineralógica da rocha, e sim apenas uma diminuição na sua granulometria, preservando certos minerais mais resistentes sob a forma euédrica (ex. granada e estaurolita);

2.7 com base nos argumentos apresentados no

item anterior, classificamos as rochas de granulação fina (próximo às cidades de Cruzeta, Jardim do Seridó e São José do Seridó), como filonitos, e não como filítos, conforme foi feito nos trabalhos anteriores;

2.8 com suporte nas observações petrográficas e na análise do químismo da sequência xistosa Seridó, da região estudada, concluimos que os micaxistos e filonitos, originaram-se de rochas sedimentares com predominância de pelitos e gravações. Já para as rochas calcossilicatadas, admitimos que são produtos de rochas sedimentares de composição carbonatada impura. No que tange ao anfibolito (amostra nº 267 b, Tabela 3), sua composição química, com exceção ao teor elevado em K_2O , sugere para a sua origem uma rocha de composição ultramáfica, semelhante em composição aos peridotitos e inclusive aos peridotitos komatiíticos (Tabela 4).

FASES DE DEFORMAÇÃO	F ₁			F ₂			F ₃		
QUARTZO									
PLAGIOCLÁSIO									
MUSCOVITA									
CLORITA									
BIOTITA									
GRANADA									
ESTAUROLITA									
ANDALUZITA									
CORDIERITA									
SILLIMANITA									
FASE DE CRISTALIZAÇÃO	PRÉ	SIN	PÓS	PRÉ	SIN	PÓS	PRÉ	SIN	PÓS
FOLIAÇÃO SURGIDA			S ₁			S ₂			
FOLIAÇÃO DEFORMADA			S ₀			S ₁			S ₂

QUADRO II - RELAÇÃO ENTRE METAMORFISMO E DEFORMAÇÃO - RESUMO.

9 REFERÊNCIAS BIBLIOGRÁFICAS

- ALBUQUERQUE, C.A.R. de - 1979 - Origin of the plutonic mafic rocks of southern Nova Scotia. Geological Society of America Bulletin, Part I, 90 (8): 719-731.
- ALMEIDA, F.F.M. de; HASUI, Y., BRITO NEVES, B.B., de - 1976- The upper precambrian of South America, Bol. Inst. Geoc. USP., 7: 45-80.
- ARNDT, N.T.; NALDRETT, A.J.; PYKE, D.R. - 1977 - Komatiitic and iron-rich tholeiitic lavas of northeast Munro Township, Ontario. J. Petrol. 18: 319-369.
- BRITO NEVES, B.B. de - 1975 - Regionalização geotectônica do Pré-Cambriano nordestino, Tese de Doutoramento, inédito. Inst. Geoc. USP. São Paulo, 198 p.
- COX, F.C. - 1969 - Inclusions in garnet: discussion and suggested mechanism of growth for syntectonic garnets, Geol. Mag., 106 (1): 57-62.
- CLEMENCY, Ch. V; BORDEN, D.M. - 1978 - The precision of "rapid" rock analysis and the homogeneity of New USGS standard rock samples. Geostandard Newsletter, 2 (2): 147-156.
- CURRIE, K.L. - 1971 - The reaction $3 \text{ cordierite} = 2 \text{ garnet} + 4 \text{ sillimanite} + 5 \text{ quartz}$ as a geological thermometer in the Opinicon lake region, Ontario, Contrib. Mineral. Petrol., 33: 215-226.
- CURRIE, K.L. - 1974 - A note on the calibration of the garnet-cordierite geothermometer and geobarometer. Contr. Mineral. Petrol., 44: 35-44.
- DEER, W.A.; HOWIE, R.A.; ZUSSMAN, J. - 1962 - Rock forming minerals. Vol. I, Ortho-and Ring silicates. London. Longmans. 333 p.
- DEPARTAMENTO NACIONAL DA PRODUÇÃO MINERAL - 1974 - Carta Geológica do Brasil ao milionésimo; folha Jaguaribe-SB 24, folha Fortaleza - SA 24. Brasília, 74 p.

- DNPM-CGMW-UNESCO - 1978 - Mapa Tectônico da América do Sul,
Escala 1:5.000.000, nota explicativa. Brasília. 22 p.
- EBERT, H. - 1970 - The Precambrian geology of the "Borborema" belt (States of Paraíba and Rio Grande do Norte; Northeastern Brazil) and the origin of its mineral provinces. Geol. Rundschau 59 (3): 1292-1326.
- FLANAGAN, F.J. - 1973 - 1972 - Values for international geochemical reference samples, Geochimica et Cosmochimica Acta, 37: 1189-1200.
- FLETCHER, C.J.N.; GREENWOOD, H.J. - 1979 - Metamorphism and structure of Penfold Creek Area, near Quesnel Lake, British Columbia. Journal Petrol., 20 (4): 743-794.
- GAMA JR., T.; ALBUQUERQUE, C.A.R. - 1979 - Metamorfismo e de formaçāo do Grupo/Complexo Seridó (RN). IX Simp. Geol. Nordeste Natal. Bol. Esp., p. 18.
- HARVEY, P.K.; FERGUSON, C.C. - 1978 - Spherically arranged inclusions in post-tectonic garnet porphyroblasts. Mineral. Magazine, 39: 85-88.
- HASUI, Y.; ALMEIDA, F.F.M. de; BRITO NEVES, B.B. de - 1978 - As estruturas brasileiras. Anais XXX Congr. Bras. Geol. Recife V. 6, p. 2423-2437.
- HENSEN, B.J.; GREEN, D.H. - 1971 - Experimental study of the stability of cordierite and garnet in pelitic compositions at high pressures and temperatures; I. Compositions with excess alumino-silicate. Contrib. Mineral. Petrol., 33: 309-330.
- HENSEN, B.J.; GREEN, D.H. - 1972 - Experimental study of the stability of cordierite and garnet in pelitic compositions at high pressures and temperatures; II. Compositions without excess alumino-silicate. Contrib. Mineral. Petrol., 35: 331-354.
- HENSEN, B.J.; GREEN, D.H. - 1973 - Experimental study of the stability of cordierite and garnet in pelitic compositions at high pressures and temperatures; III. Synthesis of experimental data and geological applications. Contrib. Mineral. Pe

- trol., 38: 151-166.
- HOLDAWAY, M.J.; LEE, M.S. - 1977 - Fe - Mg cordierite stability in high - grade pelitic rocks based on experimental, theoretical and natural observations. Contrib. Mineral. Petrol., 63: 175-198.
- HUTCHEON, I.; PROESE, E.; GORDON, T.M. - 1974 - The assemblage quartz - sillimanite - garnet - cordierite as an indicator of metamorphic conditions on the Daly Bay Complex, N.W.T., Contrib. Mineral. Petrol., 44: 29-34.
- JARDIM DE SÁ, E.F. - 1978 - Evolução Tectônica da Região do Seridó: Síntese preliminar, problemas e implicações. Manuscrito Inédito. Palestra no 1º ciclo est. Prospecção Scheelita do Nordeste, Rio Grande do Norte, 21 p.
- LEGRAND, J.M. - 1980 - Evolução metamórfica de rochas hospedeiras de mineralizações de scheelita da região do Seridó (RN-PB). Anais XXXI Congr. Bras. Geol., Camboriú (SC). V. 3: p. 1601-1615.
- MELLO, Z.F.; MELLO, A.A. - 1972 - Zoneamento metamórfico no Alto Seridó, RN. XXVI Congr. Bras. Geol., Belém. Res. Com. p. 206.
- MELLO, A.A.; MELLO, Z.F. de - 1974 - Metamorphic zoning in the Seridó region, Northeastern Brazil, Rev. Bras. Geoc., 4 (1): 1-14.
- MINNIGH, L.D.; HACKSPACHER, P.C. - 1979 - Resultados preliminares sobre microestruturas na sequência xistosa Seridó, Cruzeiro - RN. IX Simp. Geol. Nordeste, Natal. Bol. Esp., p. 42.
- MISCH, P. - 1971 - Porphyroblasts and crystallization forces: some textural criteria. Bull. Geol. Soc. Am., 82: p. 245-252.
- MIYASHIRO, A. - 1961 - Evolution of metamorphic belts. Journal of Petrol., 2: 277-311.
- MIYASHIRO, A. - 1975 - Metamorphism and Metamorphic Belts. 1^a ed., Londres. George Allen & Unwin Ltd. 492 p.

- NAHA, K. - 1962 - Time and place of progressive regional metamorphism: a study from the Precambrian of eastern India. Geol. Rundschau, 52: 810-818.
- OLESEN, N.D. - 1978 - Distinguishing between Interkinematic and syn - Kinematic Porphyroblastesis. Geol. Rundschau, 67 (1): 278-287.
- RICHARDSON, S.W. - 1968 - Staurolite stability in a part of the system Fe - Al - Si - O - H. Journal of Petrol., 9 (3): 467-488.
- RIES, A.C.; SHACKLETON, R.M. - 1977 - Preliminary note on structural sequences and magnitude and orientation of finite strains in the Precambrian of Northeast Brazil. VIII Simp. Geol. Nordeste, Campina Grande (PB). Bol. Esp., Res. Com., p. 57.
- SIAL, A.N. - 1975 - Petrologia e significado tectônico dos diabásios mesozóicos do Rio Grande do Norte e Paraíba. Atas VII Simp. Geol. Nordeste, Fortaleza (CE), p. 207-221.
- SIQUEIRA, L.P.; MARANHÃO, R.J.L. - 1971 - Novas considerações sobre a geologia da região do Seridó. Rev. Ass. Geol. Pernambuco, 1 (1): 41-46.
- SIQUEIRA, L.P.; MARANHÃO, R.J.L. - 1973 - O zoneamento e a estratigrafia do geossinclinal do Seridó. XXVII Congr. Bras. Geol., Bol. Esp. nº 2, p. 44-46.
- SIQUEIRA, L.P.; MARANHÃO, R.J.L. - 1977 - A Geossinclinal do Seridó, Bol. Miner., 5: 51-94.
- SPRY, A. - 1963 - The origin and significance of snowball structure in garnet. Journal of Petrol., 4 (2): 211-222.
- SPRY, A. - 1969 - Metamorphic Textures. 1a. ed. Londres. Pergamon Press Ltd. 350 p.
- THOMPSON, A.B. - 1976a - Mineral relations in pelitic rocks: I prediction of P - T - X (Fe-Mg) phase relations, Am. J. Sci., 276: 401-424.
- THOMPSON, A.B. - 1976b - Mineral relations in pelitic rocks:

- II, Calculation of some P - T - X (Fe-Mg) phase relations. Am. J. Sci., 276: 425-454.
- TORRES, H.H.P.; BARBOSA, A.G.; SOUZA, E.M. de; SANTOS, J.S.A. - 1973 - Projeto Tungstênio/Molibdênio, Relatório Final. DNPM/CPRM, Recife, V. I, 221 p.
- TURNER, F.J. - 1968 - Metamorphic Petrology, New York, Mc Graw Hill Book Company, 403 p.
- VERNON, R.H. - 1978 - Porphyroblast - matriz microstructural relationships in deformed metamorphic rocks. Geol. Rundschau, 67 (1): 288-305.
- WEDEPOHL, K.H. - 1969 - Composition and abundance of common sedimentary rocks. In "Handbook of geochemistry", ed. K.H. Wedepohl. Berlim, Springer - Verlag. p. 250-271.
- WERNICK, E.; HASUI, Y.; BRITO NEVES, B.B. de - 1978 - As regiões de dobramento nordeste e sudeste. Anais XXX Congr. Bras. Geol., Recife, V. 6, p. 2493-2507.
- WINKLER, H.G.F. - 1976 - Petrogenesis of Metamorphic Rocks, 2a. ed. New York, Springer - Verlag, 334 p.
- WYNNE - EDWARDS, H.R.; HAY, P.W. - 1963 - Coexisting cordierite and garnet in regionally metamorphosed rocks from the Westport area. Ontario. Can. Mineralogist, 7: 453-478.
- ZWART, H.J. - 1960a - The chronological succession of folding and metamorphism in the central Pyrenees. Geol. Rundschau, 50: 203-218.
- ZWART, H.J. - 1960b - Relations between folding and metamorphism in the central Pyrenees and their chronological succession. Geologie en Mijnbouw, 2: 162-180.
- ZWART, H.J. - 1962 - On the determination of polymetamorphic mineral associations and its applications to the Bosost Area (Central Pyrenees), Geol. Rundschau, 52: 38-65.

10 A N E X O S

10.1 MÉTODOS ANALÍTICOS

As análises químicas da granada, cordierita e plagioclásio dos metapelitos da região do Seridó, forma efetuadas por microssonda eletrônica, utilizando-se o aparelho EMX-SM de fabricação "Applied Research Laboratoires" do Instituto de Geociências da Universidade de São Paulo. As condições instrumentais foram as seguintes: potencial de integração de 10' e diâmetro de feixe eletrônico de 15 à 20 μ . Os padrões utilizados foram: GRANADA: granada 12442 para Si, Fe, Mg, Ca, Al e Mn; augita A-209 para Ti e Na; hornblenda - kakanui para K. Foram efetuadas medidas nas bordas e no centro dos grãos de granada. CORDIERITA: granada 12442 para Al e Mn; augita - 209 para Ca, Mg, Fe, Na e Ti; clinopiroxênio 5-118 para Si; hornblenda-kakanui para K; PLAGIOCLÁSIO: albita, ortoclásio e andesina AC - 362.

As análises químicas para rocha total foram realizadas pelos métodos de espectrografia de fluorescência de raio-X, utilizando-se o aparelho PW 1410/70 de fabricação "Philips". As condições instrumentais foram as seguintes: voltagem 50 K.V. amperagem 50 m.a., tubo de cromo. A preparação das pastilhas obedeceu os seguintes tratamentos: foram pesadas e misturadas 2 g de amostra e 13 g de fundente (tetraborato + metaborato de lítio-66:34 - epectromel A-12), seguido de uma pré-prensagem a 5 ton, depositada em cadinho de grafite e fundida a 1.150°C durante o tempo de 10 min. Finalmente resfriada sob um tijolo refratário poroso umedecido durante o tempo de 2 min. Pelo método de absorção atômica foi utilizado o espectrográfo de absorção atômica marca FMD4 de fabricação "Zeiss"; estes aparelhos são do Núcleo de Ciências Geofísicas e Geológicas da Universidade Federal do Pará. Os elementos Si, Al, Fe total, Ca, K, Ti e P foram analisados pelo método da espectrografia de fluorescência de raio-X, enquanto os elementos Mg, Na e Mn foram analisados pelo método da absorção atômica.

Foram utilizados como padrão para as análises, as rochas padrão internacional do Serviço Geológico dos Estados Unidos (U.S. Geological Survey) cujos valores das concentra-

ções dos elementos foram obtidos de Flanagan (1973) e Clemency e Borden (1978). Foram usados os seguintes padrões: AGV-1, BHVO-1, SCO-1 e SDC-1.

10.2 MAPA DE PONTOS